

EIDGENÖSSISCHE TECHNISCHE HOCHSCHULE ZÜRICH

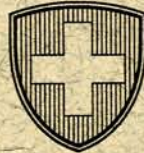
Institut für Geophysik

**Jahresbericht
1956**

des

Schweizerischen Erdbebendienstes

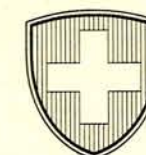
*Jan. to
March.
Apr. to
June
July to Sept.
Complete
Sh. H.*



Jahresbericht 1956

des

Schweizerischen Erdbebendienstes



Inhaltsverzeichnis	Seite
Vorwort	3
Personal und Betrieb des Erdbebendienstes	5
Schweizerische Literatur zur Geophysik im Jahre 1956	6
Über die seismische Aktivität im Jahre 1956	7
Verzeichnis der Erdbebenstationen	7
Verzeichnis der Seismographen	8
Tabelle I mit Skala de Rossi-Forel	9
Tabelle II	10
Tafeln	Anhang

VORWORT

Der Schweizerische Erdbebendienst, der bis 1957 von der Schweizerischen Meteorologischen Zentralanstalt geführt worden war, ist aus der Erdbebenkommission der Schweizerischen Naturforschenden Gesellschaft hervorgegangen. Diese Kommission wurde 1878 gegründet. Von 1878—1890 wurde sie von Prof. A. Forster, Bern, von 1891—1905 von Dr. R. Billwiller, Direktor der Meteorologischen Zentralanstalt, und 1906—1913 von Prof. J. Früh, Zürich, präsiert. Die Tätigkeitsberichte der Kommission sind bis 1887 in den Jahrbüchern des tellurischen Observatoriums in Bern, von 1888 an in den Annalen der Schweizerischen Meteorologischen Zentralanstalt erschienen.

Mit der Errichtung der Schweizerischen Erdbebenwarte Zürich-Degenried (1911) ergab sich die Notwendigkeit, die Führung des Schweizerischen Erdbebendienstes der Meteorologischen Zentralanstalt zu übertragen. An dieser Anstalt wurde er 1913—1926 von Prof. A. de Quervain, 1927 von Dr. F. Gaßmann und von 1928—1955 von Dr. E. Wanner geleitet. Nach seinem Ableben am 4. November 1955 schlug die Eidgenössische Meteorologische Kommission vor, es sei der Schweizerische Erdbebendienst von der Meteorologischen Zentralanstalt abzutrennen und dem Institut für Geophysik der Eidgenössischen Technischen Hochschule zu unterstellen. Der Vorschlag wurde von der Direktion der Meteorologischen Zentralanstalt, vom Schweizerischen Schulrat und von den eidgenössischen Räten gutgeheißen. Das einschlägige Bundesgesetz ist am 29. März 1957 in Kraft getreten. Nach diesem Gesetz sind die Aufgaben des Schweizerischen Erdbebendienstes wie folgt umschrieben:

- a) Sammlung und Bearbeitung von Beobachtungen und Berichten über die in der Schweiz direkt oder mit Hilfe von Apparaturen wahrgenommenen Erdbeben;
- b) Betrieb von Erdbebenstationen;
- c) Erdbebenforschung;
- d) Mitwirkung an internationalen seismologischen Forschungsarbeiten und Organisationen;
- e) Veröffentlichung der gewonnenen Ergebnisse.

Gegenwärtig sind in der Schweiz die vier Erdbebenstationen Zürich, Chur, Neuchâtel und Basel in Betrieb. Sie sind mit großen Universalseismographen ausgerüstet. Dieser Apparatetypus wurde 1923 von Prof. A. Quervain und Prof. A. Piccard konstruiert. In Zürich sind überdies seit 1911 zwei Bosch-Mainkappendel und seit 1937 ein von Prof. A. Kreis und Dr. E. Wanner konstruierter Vertikalseismograph aufgestellt. Alle Apparate registrieren mechanisch.

Der Jahresbericht 1955 ist der letzte als Bestandteil der Annalen der Schweizerischen Meteorologischen Zentralanstalt publizierte Bericht des Schweizerischen Erdbebendienstes. Mit dem vorliegenden Bericht über das Jahr 1956 beginnt eine selbständige, vom Institut für Geophysik herausgegebene Serie von Jahresberichten des Schweizerischen Erdbebendienstes.

Am 28. Mai 1958 hat Herr PD Dr. *Max Weber*, Adjunkt am Institut für Geophysik, die Leitung des Schweizerischen Erdbebendienstes übernommen.

Zürich, August 1958.

Der Vorstand des Instituts für Geophysik:
Prof. Dr. *Fritz Gaßmann*

Personal und Betrieb des Erdbebendienstes

Nach dem Tode von Dr. E. Wanner (4. November 1955) wurden die dringendsten Arbeiten zur Aufrechterhaltung des Betriebes der Erdbebenwarte Zürich-Degenried und zur Verwaltung des Erdbebendienstes von M. Grütter und Fräulein A. Bösch an der Meteorologischen Zentralanstalt besorgt. In der zweiten Jahreshälfte wurde auch E. Peter, dipl. Physiker ETH, seit 1. Juli Assistent am Institut für Geophysik der ETH, zur Mithilfe herangezogen. In den Monaten Mai bis Dezember wurden keine Erdbebenbulletins herausgegeben.

Schweizerische Literatur zur Geophysik im Jahre 1956

Balmer, Heinz: Beiträge zur Geschichte der Erkenntnis des Erdmagnetismus. [Fig., Karten und Taf.] — Aarau, Sauerländer, 1956, 892 S. (Veröffentl. Schweiz. Ges. Gesch. Med. Naturwiss. 20.) — Diss. phil.-naturwiss. Bern 1956, 31 S. [Teildruck.] — Gesnerus, Jg. 13, 1956, H. 1/2, S. 65—81 (Übersicht).

Bider, Max: Die Erdbebenstätigkeit in Basel und Umgebung seit dem großen Erdbeben [Kartenskizzen und Seismogr.] — Basler Jahrb. 1956, S. 17—44.

Fleckenstein, J.O.: Die Beiträge der Basler Astronomen A. Riggenbach und Th. Niethammer zur geophysikalischen Erforschung des Simplontunnelgebietes, 1898—1907. [Tab. und 4 Taf. In:] Atti del convegno di studi per i rapporti sci. e culturali italo-svizzeri, Milano 1956, p. 91—104. — Milano, Ist. lombardo Sci. Lettere, 1956.

Gassmann, Fritz und Weber, Max: Über geoelektrische Widerstandsmessungen in den Schweizer Alpen. [Abb. und Profile] — Bull. Ver. Schweiz. Petrol.-Geol. und -Ing., vol. 23, 1956/57, Nr. 64, S. 71—77. Mitt. Nr. 29 Inst. Geophys. ETH Zürich.

Grütter, M. und Peter, E.: Jahresbericht 1955 des Erdbebendienstes der Schweizerischen meteorologischen Zentralanstalt. [Tab. und 1 Taf.: Karten] — Ann. Schweiz. meteorol. Zentralanst., Jg. 92, 1955, 1956, (Anh.) 5, 26 S.

Hunziker, Erwin: Auszug aus den Berichten über die Gravimetermessungen 1954. [Tab.] — Procès-verbal de la 100^e séance de la Commission géodésique suisse, Berne 1955, p. 23—30.

Hunziker, Erwin: Auszug aus den Berichten über das Schwerenetz erster Ordnung und über die Gravimetermessungen 1955. — Protokoll der 101. Sitzung der Schweiz. geodätischen Kommission, Bern 1956, S. 24—35.

Mercier, Pierre-Albert: Tremblements de terre du Valais et structure profonde de la Suisse. [2 pl.] — Thèse sciences Lausanne 1954, I, 67 p. dact. — Ed. abrégée. [Profils et tabl.] Bull. Soc. vaud. Sci. nat., vol. 66, 1954/56, No. 287, p. 63—73; Bull. Lab. Géol. Univ. Lausanne. 111.

Weber, Max: Die Berechnung der Frontgeschwindigkeit in einem einachsigen inhomogenen Körper aus seismischen Refraktionsmessungen. — Geofis. pura e appl., Milano, vol. 34, 1956, p. 1—20. Mitt. Nr. 30 Inst. Geophys. ETH Zürich.

Weber, Max: Die Auswertung von seismischen Refraktionsmessungen in einem einachsigen inhomogenen Körper mit abgebrochenen Potenzreihen. — Geofis. pura e appl., Milano, vol. 35, 1956, p. 14—24. Mitt. Nr. 31 Inst. Geophys. ETH Zürich.

Über die seismische Aktivität im Jahre 1956

Von den Schweizerischen Erdbebenwarten wurden im Berichtsjahr 366 Beben registriert.

Wir erhielten Meldungen von 25 Erschütterungen, wovon 20 aus dem Wallis. Beben über Stärke 4 traten nicht auf.

Aus dem Val-d'Illiez erreichte uns die Mitteilung, daß im Gegensatz zu den früheren Jahren im Herbst und Winter keine unterirdischen Geräusche mehr gehört wurden. Die 1953 ausgetretenen Quellen fließen immer noch mit etwa 1200 Minutenlitern (Temperatur 29° C).

Die uns bekannt gewordenen Erschütterungen verteilen sich auf die verschiedenen Tagesstunden bzw. Monate wie folgt:

auf Tagesstunden

0—2	2—4	4—6	6—8	8—10	10—12	12—14	14—16	16—18	18—20	20—22	22—24
2	4	4	—	3	2	3	1	1	2	2	1

auf Monate

Jan.	Febr.	März	April	Mai	Juni	Juli	Aug.	Sept.	Okt.	Nov.	Dez.
5	4	2	1	2	—	1	3	2	1	2	2

Verzeichnis der Erdbebenstationen

	Zürich = Zü	Chur = Ch	Neuchâtel = Ne	Basel = Ba
Direktion Bearbeiter	Prof. Dr. J. Lugeon M. Grütter E. Peter W. Schneibel	Prof. Dr. h. c. A. Kreis	Prof. Dr. J.-P. Blaser Dr. R. Payot	Prof. Dr. W. Becker Dr. M. Bider
Aufstellungsort der Seismographen	Schweiz. Erdbeben- warte Degenried	Kantonsschule	Observatoire	Astronomisch- Meteorologische Anstalt Binningen bei Basel
Geogr. Breite	47° 22' 07,2" N	46° 50' 59,5" N	46° 59' 50,6" N	47° 32' 24" N
Geogr. Länge	8° 34' 49,5" E	9° 32' 12,1" E	6° 57' 26,2" E	7° 34' 58,5" E
Meereshöhe	604 m	630 m	487 m	309 m
Untergrund	Sandsteine und Mergel der ob. Süßwassermolasse	Bündnerschiefer des Penninikums	Urgonkalke der untern Kreideformation	Nagelfluh der Hochterrasse

Verzeichnis der Seismographen

Station	Seismograph	Masse	Komponente	Registrierart	Vergrößerung für schnelle Schwingungen	Eigenperiode bei ausgeschalt. Dämpfung	Dämpfungsverhältnis	Registriergeschwindigkeit
		kg				Sek.		mm/Min.
Zürich	Universalseismograph de Quervain-Piccard (QP)	20 600	N-S	mechanisch	1310	2,4	3,0 : 1	90
			E-W	auf Ruß	1180	3,2	3,0 : 1	90
Chur	Kreis QP	1 050	V	"	1400	1,3	2,0 : 1	90
			N-S	"	120	8,0	3,0 : 1	25
			E-W	"	120	7,0	3,0 : 1	25
			V	"	180	2,6	2,5 : 1	30
Neuchâtel	QP	13 000	X = N 62° W	"	1100	2,8	2,5 : 1	60
			Y = N 28° E	"	1350	2,6	2,0 : 1	60
			V	"	2400	1,5	1,9 : 1	60
Basel	QP	19 000	N-S	"	1660	2,7	4,2 : 1	60
			E-W	"	1640	2,7	3,8 : 1	60
			V	"	1950	1,1	2,3 : 1	60
Basel	QP	19 500	N-S	"	1150	3,8	1,7 : 1	60
			E-W	"	1160	3,6	1,7 : 1	60
			V	"	1450	2,1	2,5 : 1	60

Tabelle I In der Schweiz 1956 verspürte Erdbeben (mit Intensitätsskala)

Für die Beurteilung der Stärke der Erdstöße wurde wie früher die Rossi-Forel'sche oder italienisch-schweizerische Intensitätsskala zugrunde gelegt. Sie lautet:

- Grad
- I Mikroseismische Bewegung, notiert von einem Seismographen oder von mehreren Instrumenten derselben Art, aber nicht imstande, Seismographen verschiedener Konstruktion in Funktion zu versetzen. Konstatiert von einem geübten Beobachter.
 - II Stoß, registriert von Seismographen verschiedenen Systems, konstatiert von einer kleinen Anzahl, im Zustande der Ruhe befindlicher Beobachter.
 - III Erschütterung, beobachtet von mehreren Personen in der Ruhe; stark genug, daß Dauer oder Richtung geschätzt werden können.
 - IV Erschütterung, beobachtet von Personen in Tätigkeit; Erschütterung beweglicher Objekte, der Fenster, Türen, Krachen der Dielen.
 - V Erschütterung allgemein von der ganzen Bevölkerung bemerkt; Erschütterung größerer Gegenstände, der Möbel, Betten; Anschlagen einzelner Hausglocken.
 - VI Allgemeines Erwachen der Schlafenden; allgemeines Anschlagen der Hausglocken, Schwanken der Kronleuchter, Stillstehen von Uhren, sichtbares Schwanken der Bäume und Gesträucher. Einzelne Personen verlassen erschreckt die Häuser.
 - VII Umstürzen von beweglichen Gegenständen, Ablösen von Gipsstücken aus der Decke und von den Wänden, Anschlagen von Kirchenglocken, allgemeiner Schrecken, noch keine Beschädigung der Bauwerke.
 - VIII Herabstürzen von Kaminen, Risse in den Mauern von Gebäuden.
 - IX Teilweise oder gänzliche Zerstörung einzelner Gebäude.
 - X Großes Unglück, Ruinen, Umsturz von Erdschichten, Entstehen von Spalten in der Erdrinde, Bergstürze.

Anmerkung: Die Zeitangaben beziehen sich auf die mittlere Zeit von Greenwich. (G. M. T.)

Tabelle 1

Nr.	Datum	G. M. T. h m s	Epizentralgebiet und erschütterte Gebiete	Grad Rossi-Forel	Anzahl Meldg.	Tab. II Nr.	Bemerkungen
	1956						
1	4. Jan.	15 49 30	Montana-Vermala (Tafel 3)	III	1	—	sehr schwacher Stoß
2	4. Jan.	18 29 10	Wildhorn 46° 20' N; 7° 10' E Montana-Vermala IV; Lauenen, Gsteig III (Tafel 4)	IV	3	5	explosionsartiger Stoß
3	26. Jan.	08 13	Val d'Illiez (Tafel 3)	III ?	1	—	stärkerer Stoß
4	26. Jan.	12 13	Val d'Illiez (Tafel 3)	II ?	1	—	schwacher Stoß
5	28. Jan.	04 21 30	Wildhorn 46° 20' N; 7° 20' E Montana-Vermala IV; Gsteig, Leukerbad, Chippis III; Kiental II (Tafel 4)	IV	5	26	explosionsartiger Stoß
6	7. Febr.	01 48 49	Pt. St. Bernard 45° 7' N; 6° 8' E Val d'Illiez (Tafel 3)	III	1	34	
7	10. Febr.	04 01 20	Val d'Héremence 46° N; 7° 4' E Gsteig IV; Sion III (Tafel 1)	IV	2	36	Schaukeln
8	24. Febr.	19 11	Val d'Illiez (Tafel 3)	II	1	—	mehrere sehr schwache Stöße
9	28. Febr.	03 07 46	Pays d'Enhaut 46° ½ N; 7° E Gsteig, Montana IV (Tafel 1)	IV	2	51	starker vertikaler Stoß
10	22. März	02 43 25	Montana 46° ¼ N; 7° ½ E (Tafel 3)	III	1	70	schwacher Stoß mit dumpfem Grollen
11	24. März	02 21 14	Montana 46° ¼ N; 7° ¼ E (Tafel 3)	IV	1	71	sehr kurzer Stoß; Lärm
12	6. April	17 18 14	Montana 46° ¼ N; 7° ¼ E (Tafel 3)	IV	1	80	starker kurzer Stoß, vertikal
13	16. Mai	21 10 20	Montana (Tafel 3)	III	1	119	
14	21. Mai	02 18 47	Dießenhofen 47° 40' N; 8° 50' E Frauenfeld III (Tafel 3)	III	1	123	Zittern
15	12. Juli	01 45	Schleitheim (SH) (Tafel 4)	III	1	—	Zittern
16	11. Aug.	04 24	Kandersteg (Tafel 1)	?	1	—	kurzes Beben
17	12. Aug.	04 21 31	Mittl. Wallis 46° 20' N; 7° 40' E Montana-Vermala, Leukerbad IV; Gsteig III; Sion, Adelboden II (Tafel 4)	IV	6	222	kurzer Stoß; vorausgehend dumpfes Getöse
18	31. Aug.	ca. 12 h	Hauptwil (TG) (Tafel 2)	?	1	—	Zittern; dumpfes Donnern
19	15. Sept.	11 20	Altendorf (SZ) (Tafel 4)	?	1	—	dumpfer Schall; Gong der Wanduhr schlug an
20	17. Sept.	09 50	Altendorf (SZ), Horgen (ZH) (Tafel 4)	?	1	—	Krachen der Wände; Gong der Wanduhr schlug an
21	15. Okt.	13 19 29	Vevey, Les Ormonts (Tafel 2)	IV ?	1	291	Angaben aus der Lokalpresse
22	3. Nov.	13 59 40 ?	Sion (VS) (Tafel 2)	?	1	309	
23	24. Nov.	08 48	Sion (VS) (Tafel 2)	?	1	—	
24	11. Dez.	22 25 07	Héremence 46° 11' N; 7° 25' E Visp, Zermatt, Chippis (Tafel 1)	IV ?	3	347	
25	25. Dez.	20 04 30	Montana-Vermala (Tafel 3)	IV	1	—	Krachen im Gebälk
			zusammengestellt von W. Schneibel				

Tabelle II In der Schweiz 1956 registrierte Erdbeben

Bemerkungen

1. Die Zeitangaben beziehen sich auf die mittlere Zeit von Greenwich (G.M.T.).
2. Die Buchstabengruppen BCIS und USCGS sind gebräuchliche Abkürzungen für Bureau International de Seismologie bzw. United States Coast and Geodetic Survey.
3. Die Abkürzungen bedeuten: Ba = Basel, Ne = Neuchâtel, Ch = Chur, Zü = Zürich.
D = Dilatation, ML = Minuten-Lücke, K = Kompression
4. Die Ablesungen beziehen sich auf die de Quervain-Piccard-Seismographen.

Nr.	Datum	Station	Epizentral-entfernung nach S-P	Max. Doppel-Amplit.	Ungef. Dauer der Reg.	Tab. I Nr.	Phasen, Bemerkungen
	1956		km	mm	min		
	Jan.			registr.			
1	1. ✓	Ne	—	1	1/2	—	eP 12 h 38 m 26.8 s e 12 h 38 m 30.6 s
2	3. ✓	Zü	—	—	—	—	ePn 15 h 53 m 12.0 s ✓ eP 15 h 53 m 12.6 s ✓ eP 15 h 53 m 15.5 s ✓ nach USCGS: H = 15 h 40 m 55 s, 48° 1/2 N, 155° E, Kurilen-Inseln
3	3. ✓	Ne	—	1	2	—	e 23 h 36 m 56.5 s nach USCGS: H = 23 h 24 m 52 s, 54° 1/2 N, 163° W, Insel Unimak, Alaska
4	4. ✓	Zü	100	1	1	—	ePg 14 h 02 m 48.0 s eS 14 h 02 m 59.8 s nach Stuttgart verspürt bei Onstmettingen (D).
5	4. ✓	Ne	85	10	4	2	iPg 18 h 29 m 24.9 s iPn 18 h 29 m 27.2 s iSg 18 h 29 m 34.8 s e 18 h 29 m 39 s
		Ba	130	14	3	2	ePn 18 h 29 m 34.0 s iPg 18 h 29 m 36 s eSg 18 h 29 m 50 s
		Zü	155	—	—	2	ePn 18 h 29 m 35.0 s ePg 18 h 29 m 36.4 s eSg 18 h 29 m 54.6 s 46° 20' N, 7° 10' E, Wildhorn, H = 18 h 29 m 10 s, verspürt im Wallis (Tafel 4)
6	4. ✓	Ne	84	2	3	—	iPg 22 h 22 m 31.5 s iSg 22 h 22 m 43 s
		Ba	130	3	2	—	ePn 22 h 22 m 38.0 s eSg 22 h 22 m 54 s
		Zü	153	3	1	—	ePn 22 h 22 m 39.5 s ePg 22 h 22 m 40 s eSg 22 h 22 m 59 s Nachstoß zu vorigem. H = 22 h 22 m 16 s
7	5. ✓	Ne	—	1	1/2	—	eP 02 h 48 m 48.9 s e 02 h 48 m 55 s ML
8	6. ✓	Ne	—	1	10	—	eP 05 h 47 m 42.4 s ✓
		Ba	—	2	10	—	eP 05 h 47 m 50.8 s D ✓
		Zü	—	1	5	—	eP 05 h 47 m 57.5 s ✓
			—	—	—	—	nach USCGS: H = 05 h 43 m 38 s, 36° 1/2 N, 11° W, verspürt in Lissabon
9	6. ✓	Zü	—	3	7	—	eP 12 h 19 m 11.5 s e 12 h 19 m 19 s e 12 h 22 m 05 s e 12 h 23 m 39 s ✓
		Ne	—	9	30	—	eP 12 h 19 m 20.2 s ✓ e 12 h 23 m 53 s ✓ e 12 h 24 m 35 s ✓
		Ba	—	20	20	—	eP 12 h 19 m 21.3 s K ✓ e 12 h 23 m 53 s ✓ e 12 h 24 m 35 s ✓ nach USCGS: H = 12 h 15 m 40 s, 40° 1/2 N, 26° E, verspürt in der westlichen Türkei (IV)
10	6. ✓	Zü	—	1	2	—	e 14 h 56 m 57.0 s
		Ba	—	2	6	—	e 14 h 57 m 00.2 s ML
		Ne	—	1	3	—	e 14 h 57 m 04.9 s
			—	—	—	—	nach BCIS: H = 14 h 52 m 58 s, 41° 3/4 N, 30° 1/2 E, Schwarzmeerküste, Nord-Türkei
11	6. ✓	Ba	—	1	2	—	eP 22 h 37 m 39.0 s ✓ nach USCGS: H = 22 h 25 m 02 s, 39° N, 142° E, bei der Ostküste von Hondo, Japan
12	8. ✓	Ne	—	3	90	—	eP 21 h 07 m 41.2 s ✓ e 21 h 18 m 17 s ✓
		Ba	9750	2	90	—	eP 21 h 07 m 45.1 s D ✓ eS 21 h 17 m 35 s ✓ eL 21 h 46 m 22 s ✓
		Zü	9500	—	—	—	ePn 21 h 07 m 46.3 s ePP 21 h 11 m 25 s ✓ eSn 21 h 18 m 22 s ✓ nach USCGS: H = 20 h 54 m 13 s, 19° S, 70° W, Nord-Chile, leichte Schäden in Arica
13	9. ✓	Ba	—	2	6	—	eP 12 h 24 m 39.0 s D i 12 h 25 m 09 s ✓ e 12 h 30 m 04 s ✓
		Ne	—	2	10	—	eP 12 h 24 m 41.6 s ✓
		Zü	—	1	4	—	eP 12 h 24 m 42 s ✓ e 12 h 25 m 10 s ✓ nach USCGS: H = 12 h 05 m 53 s, h = ca. 650 km, 23° S, 179° E, Fidji-Inseln
14	10. ✓	Ba	—	4	>120	—	e 09 h 06 m 29.8 s ✓ e 09 h 08 m 07 s ✓ e 09 h 12 m 45 s ✓
		Ne	—	2	90	—	e 09 h 13 m 02.0 s ✓ nach USCGS: H = 08 h 52 m 36 s, 25° S, 176° W, Region der Tonga-Inseln

Nr.	Datum	Station	Epizentral-entfernung nach S-P	Max. Doppel-Amplit.	Ungef. Dauer der Reg.	Tab. I Nr.	Phasen, Bemerkungen
	1956		km	mm	min		
	Jan.						
15	11. ✓	Zü	—	1	3	—	eP 06 h 22 m 24.7 s ✓ eP 06 h 22 m 31.7 s ✓ nach USCGS: H = 06 h 10 m 03 s, 7° 1/2 N, 94° E, Nicobaren-Inseln
		Ne	—	1	10	—	
16	12. ✓	Zü	—	—	—	—	eP 05 h 47 m 54.9 s e 05 h 48 m 25.1 s ✓ e 05 h 49 m 14 s ✓
		Ba	—	90	30	—	eP 05 h 48 m 08.5 s ✓ e 05 h 48 m 41 s ✓ e 05 h 50 m 28 s ✓
		Ne	—	52	30	—	iP 05 h 48 m 10.0 s ✓ e 05 h 48 m 21 s ✓ e 05 h 49 m 02 s ✓ e 05 h 50 m 39 s ✓ nach USCGS: H = 05 h 46 m 05 s, 47° 1/2 N, 20° E, Region Budapest, Schadenbeben
17	14. ✓	Ba	—	1	1	—	eP 14 h 20 m 58.9 s ✓
		Zü	—	1	1	—	eP 14 h 21 m 03.0 s ✓ nach USCGS: H = 14 h 08 m 41 s, 51° 1/2 N, 173° W, Fuchs-Inseln, Aleuten
18	14. ✓	Ba	—	1	1	—	eP 14 h 37 m 03.1 s ✓ nach USCGS: H = 14 h 24 m 43 s, h = ca. 60 km, 43° N, 145° E, bei der Ostküste von Hokkaido
19	15. ✓	Ne	55	1	2	—	iP 08 h 09 m 34.0 s iS 08 h 09 m 40.6 s
		Ba	—	3	1	—	eP 08 h 09 m 40.8 s ✓
		Zü	109	1	1	—	ePg 08 h 09 m 49.9 s eSg 08 h 10 m 03.9 s H = 08 h 09 m 25 s, 46° 3/4 N, 7° 1/2 E, ca. 20 km südlich von Bern (Schweiz)
20	16. ✓	Ne	9500	8	90	—	eP 23 h 50 m 32.6 s eS 24 h 01 m 05 s ✓
		Ba	9600	8	>120	—	eP 23 h 50 m 37.0 s ✓ e 23 h 54 m 05 s ✓ eS 24 h 01 m 23 s ✓
		Zü	9900	5	90	—	eP 23 h 50 m 40.6 s ✓ eS 24 h 01 m 32.6 s ✓ eL 24 h 16 m 57 s ✓ nach USCGS: H = 23 h 37 m 37 s, 1/2° S, 80° 1/2 W, in der Nähe der Küste von Equador, bedeutende Schäden.
21	21. ✓	Ne	—	1/2	5	—	e 09 h 54 m 13.9 s
22	23. ✓	Ne	—	1	5	—	e 03 h 59 m 07.2 s ✓
23	24. ✓	Ba	—	2	2	—	eP 15 h 53 m 15.0 s e 15 h 53 m 19 s e 15 h 53 m 29 s
24	26. ✓	Ba	—	3	1	—	eP 16 h 30 m 25.4 s e 16 h 30 m 28 s
25	27. ✓	Zü	1490	—	—	—	eP 01 h 17 m 08.8 s eS 01 h 19 m 38.1 s ✓
		Ba	1500	1	1	—	eP 01 h 17 m 17.0 s eS 01 h 20 m 01.6 s ✓
		Ne	1650	1	2	—	eP 01 h 17 m 18.1 s e 01 h 17 m 55 s ✓ eS 01 h 19 m 59 s ✓ nach USCGS: H = 01 h 13 m 22 s, 37° N, 24° E, Ägäisches Meer, verspürt IV
26	28. ✓	Ne	92	8	2	5	iP 04 h 21 m 46.0 s iS 04 h 21 m 57 s i 04 h 22 m 00.4 s
		Ba	126	8	2	5	eP 04 h 21 m 57.1 s iS 04 h 22 m 12.0 s
		Zü	158	—	—	5	keine Zeitmarken H = 04 h 21 m 30 s, 46° 20' N, 7° 20' E, Wildhorn, Wallis (Schweiz), (Tafel 4)
27	31. ✓	Zü	475	—	—	—	eP 02 h 26 m 40.2 s eSg 02 h 26 m 54.3 s
		Ba	—	25	4	—	eP 02 h 26 m 49.4 s e 02 h 27 m 13 s e 02 h 27 m 49 s
		Ne	560	10	10	—	iPn 02 h 26 m 53.2 s iPg 02 h 27 m 11.9 s eSg 02 h 28 m 20 s e 02 h 27 m 42 s nach BCIS: H = 02 h 25 m 29 s, 45° 1/2 N, 14° 1/2 E, Dinariden-Inseln.
28	31. ✓	Ne	—	1	4	—	eP 09 h 35 m 34.6 s ✓ nach USCGS: H = 09 h 17 m 11 s, h = ca. 400 km, 4° S, 152° E, Neuirland
	Febr.						
29	1. ✓	Zü	—	—	—	—	ePKP 01 h 52 m 42.4 s ✓
		Ba	—	3	3	—	ePKP 01 h 52 m 44.9 s ✓ e 01 h 53 m 03 s ✓
		Ne	—	1	4	—	ePKP 01 h 52 m 50.5 s ML nach USCGS: H = 01 h 32 m 55 s, 20° S, 169° E, Loyanté-Inseln
30	1. ✓	Ba	—	5	10	—	eP 13 h 58 m 36.7 s e 13 h 59 m 32 s ✓
		Ne	—	2	6	—	eP 13 h 58 m 59.6 s ✓ e 13 h 59 m 39 s ✓
		Zü	—	2	4	—	e 13 h 59 m 31.3 s ✓ nach USCGS: H = 13 h 41 m 44 s, h = ca. 350 km, 19° N, 145° 1/2 E, Marianen-Inseln.
31	1. ✓	Zü	1090	8	7	—	iP 15 h 13 m 07.8 s eS 15 h 15 m 01 s ✓ Azimut 150°
		Ne	1090	8	10	—	iP 15 h 13 m 13.6 s iS 15 h 15 m 07 s ✓ Azimut 130°
		Ba	1060	9	30	—	eP 15 h 13 m 13.7 s eS 15 h 15 m 04 s ✓ Azimut 130° nach USCGS: H = 15 h 10 m 46 s, h = ca. 200 km, 39° 1/2 N, 16° E, Tyrrhenisches Meer
32	3. ✓	Ne	560	2	5	—	iP 13 h 43 m 41.1 s eSg 13 h 45 m 09 s
		Ba	540	6	6	—	ePn 13 h 43 m 41.5 s eSn 13 h 44 m 43 s eSg 13 h 45 m 07 s nach BCIS: H = 13 h 42 m 16 s, Nachstoß von Nr. 27

Nr.	Datum	Station	Epizentral-entfernung nach S-P	Max. Doppel-Amplit.	Ungef. Dauer der Reg.	Tab. I Nr.	Phasen, Bemerkungen
33	1956 Febr. 3.	Ba	—	1	1	—	eP 21 h 47 m 38.9 s ✓ nach BCIS: H = 21 h 38.0 m, 5° S, 30° E, Tanganjikasee, verspürt in Ousoumboura
34	7.	Ne Ba Zü	142 213 220	1 1	2 1	6 6 6	iPg 01 h 49 m 13.7 s iSg 01 h 49 m 31.9 s ePg 01 h 49 m 25.2 s eSg 01 h 49 m 52 s ePg 01 h 49 m 29.4 s eSn 01 h 49 m 57.2 s eSg 01 h 50 m 11.8 s H = 01 h 48 m 49 s, 45° 7' N, 6° 8' E, Pt. St. Bernard, gespürt im Val d'Illiez (Tafel 3)
35	9.	Ne Ba Zü	9600 — 9450	6 20 4	90 >120 60	— — —	eP 14 h 45 m 22.3 s ✓ eS 14 h 56 m 02 s ✓ eP 14 h 45 m 23.1 s ✓ e 14 h 46 m 55 s ✓ eL 15 h 13 m 25 s ✓ eP 14 h 45 m 29.0 s ✓ eS 14 h 56 m 01 s ✓ eL 15 h 12 m 27 s ✓ nach USCGS: H = 14 h 32 m 40 s, 31° 5' N, 116° W, Kalifornien, leichte Schäden im Imperial Valley
36	10.	Ba Ne Zü	— 102 132	2 4 1	1 2 2	7 7 7	e 04 h 01 m 13.9 s e 04 h 01 m 59 s eP 04 h 01 m 30.1 s i 04 h 01 m 32.7 s iS 04 h 01 m 43.3 s ePg 04 h 01 m 43.3 s eSg 04 h 02 m 00 s e 04 h 02 m 33.4 s H = 04 h 01 m 20 s, 46° N, 7° 4' E, Val d'Héremence, verspürt im Wallis (Tafel 1)
37	12.	Zü Ne	— 9800	— 2	— 90	— —	eP 12 h 02 m 23.1 s ✓ eP 12 h 02 m 26.8 s ✓ eS 12 h 13 m 18 s ✓ nach USCGS: H = 11 h 49 m 20 s, 19° N, 119° ½ E, NW-Küste von Luzon, Philippinen, verspürt in Calayan, Laoag, Aparri (IV)
38	14.	Ba	—	2	>120	—	eP 18 h 46 m 21.6 s ✓ eL 19 h 20 m 00 s ✓ nach USCGS: H = 18 h 33 m 32 s, Nachstoß von Nr. 35
39	15.	Ba	—	2	>120	—	e 01 h 33 m 17.2 s ✓ eL 02 h 07 m 26 s ✓ nach USCGS: H = 01 h 20 m 36 s, Nachstoß von Nr. 35
40	15.	Zü Ba Ne	— 1160 —	1 5 1	5 6 5	— — —	eP 04 h 05 m 00.4 s eP 04 h 05 m 09.3 s eS 04 h 07 m 09 s eP 04 h 05 m 16.7 s nach BCIS: ca 44° N, 18° E, Jugoslawien
41	15.	Zü Ba	— 4100	1 2	3 10	— —	iP 15 h 56 m 57.6 s ✓ eP 15 h 57 m 13.7 s ✓ eS 16 h 03 m 08 s ✓ nach USCGS: H = 15 h 49 m 27 s, 28° N, 53° E, Süd-Persien
42	15.	Ne Ba Zü	— 880 970	3 9 3	6 30 5	— — —	e 17 h 41 m 20.4 s eS 17 h 43 m 06 s eP 17 h 41 m 58.7 s eS 17 h 43 m 29 s eP 17 h 42 m 08.2 s eS 17 h 43 m 47 s nach BCIS: H = 17 h 39.6 m, 43° 1' N, 0° 5' W, untere Pyrenäen, leicht verspürt
43	18.	Ba Zü Ne	— 8300 8300	— 30 24	90 50 8	— — —	e 07 h 46 m 32.1 s ✓ e 07 h 47 m 21 s ✓ eS 07 h 56 m 21 s ✓ eL 08 h 09 m 25 s ✓ eP 07 h 46 m 33.5 s ✓ eSKS 07 h 56 m 16 s ✓ iP 07 h 46 m 38.2 s e 07 h 50 m 28 s ✓ eS 07 h 56 m 23 s ✓ nach USCGS: H = 07 h 34 m 16 s, h = ca. 450 km, 30° N, 137° ½ E, Südküste von Hondo
44	19.	Ba	—	3	30	—	eP 02 h 14 m 45.2 s
45	20.	Zü Ne	430 420	6 2	7 5	— —	eP 01 h 30 m 29.4 s eS 01 h 31 m 20 s iP 01 h 30 m 35.5 s eSn 01 h 31 m 25 s eSg 01 h 31 m 40 s e 01 h 32 m 21 s nach BCIS: H = 01 h 29 m 27 s, 45° 0' N, 12° ½ E, Adriatisches Meer, beim Po-Delta, verspürt VI
46	20.	Ne	—	1	½	—	iP 18 h 38 m 01.9 s Azimut 240°
47	20.	Zü Ba Ne	2060 — 2140	37 70 25	7 30 30	— — —	ePn 20 h 35 m 44.0 s ePP 20 h 36 m 13 s eSn 20 h 39 m 09 s eSSS 20 h 40 m 52 s eP 20 h 35 m 52.9 s K e 20 h 37 m 15 s ✓ e 20 h 39 m 40 s ✓ iP 20 h 35 m 56.4 s eS 20 h 39 m 26 s ✓ e 20 h 41 m 14 s ✓ e 20 h 43 m 27 s nach USCGS: H = 20 h 31 m 35 s, 39° ½ N, 30° ½ E, Türkei
48	21.	Ne	—	—	—	—	eP 11 h 20 m 02.5 s
49	23.	Ne Ba	— —	1 1	6 4	— —	e 01 h 28 m 48.7 s ML e 01 h 28 m 51.6 s nach USCGS: H = 01 h 21 m 03 s, 31° N, 42° W, Nordatlantik
50	27.	Ba Ne	— —	— 1	6 2	— —	e 08 h 50 m 06.9 s e 08 h 50 m 09.2 s nach USCGS: H = 08 h 37 m 58 s, h = ca. 100 km, 52° N, 174° W, Andreanow-Inseln, Aleuten

Nr.	Datum	Station	Epizentral-entfernung nach S-P	Max. Doppel-Amplit.	Ungef. Dauer der Reg.	Tab. I Nr.	Phasen, Bemerkungen
51	1956 Febr. 28.	Ne Ba Zü	— 54 128 146	— — 1	— — 1	9 9 9	iP 03 h 07 m 55.6 s eS 03 h 08 m 03 s i 03 h 08 m 07 s eP 03 h 08 m 03.7 s eS 03 h 08 m 20 s eP 03 h 08 m 04.9 s eS 03 h 08 m 23.4 s H = 03 h 07 m 46 s, 46° ½ N, 7° E, Pays d'Enhaut, verspürt im Wallis (Schweiz) (Tafel 1)
52	29.	Zü Ba	— —	— 1	— 3	— —	eP 21 h 02 m 30 s ✓ eP 21 h 02 m 35.1 s ✓ nach USCGS: H = 20 h 51 m 18 s, h = ca. 60 km, 23° ½ N, 94° ½ E, Grenze Burma-Indien
53	29.	Ba	—	1	2	—	eP 21 h 37 m 37.1 s ✓ nach USCGS: H = 21 h 25 m 58 s, Nachstoß von Nr. 52
54	März 1.	Ne	—	1	1	—	eP 23 h 24 m 08.0 s e 23 h 24 m 15 s
55	2.	Ba Zü Ne	— 80 195	— 2 1	1 1 2	— — —	iP 03 h 29 m 14.0 s K ePg 03 h 29 m 20.4 s eSg 03 h 29 m 31 s iPg 03 h 29 m 26.4 s iSg 03 h 29 m 51 s nach Stuttgart: H = 03 h 29 m 05.0 s, 47° 54' N, 7° 56' E, Schwarzwald (D), verspürt in der Gegend des Feldberges (IV—V)
56	2.	Ba	—	2	1	—	eP 12 h 07 m 20.7 s ✓ nach USCGS: H = 11 h 56 m 20 s, 63° ½ N, 149° ½ W, Alaska, verspürt in College.
57	2.	Ba	—	2	1	—	eP 15 h 01 m 30.3 s K ✓ nach USCGS: H = 14 h 49 m 18 s, h = ca. 100 km, 45° ½ N, 149° ½ E, Kurilen-Inseln
58	3.	Ba Zü Ne	— — —	— 5 2	10 5 5	— — —	ePKP 00 h 25 m 16.9 s D ✓ e 00 h 25 m 27 s ✓ e 00 h 26 m 52 s ✓ ePKP 00 h 25 m 17.8 s ✓ ePKP 00 h 25 m 26.1 s ✓ nach USCGS: H = 00 h 05 m 25 s, 15° S, 173° ½ W, Region der Samoa-Inseln, verspürt in Apia (IV—V)
59	3.	Ne Zü	— —	— 1	6 2	— —	e 10 h 25 m 04.3 s ✓ e 10 h 25 m 19.6 s ✓ nach USCGS: H = 10 h 13 m 44 s, h = ca. 60 km, Nachstoß von Nr. 52
60	5.	Zü Ba Ne	— — —	— 1 2	40 90 30	— — —	eP 23 h 41 m 58.1 s ✓ eP 23 h 42 m 01.1 s MLe 23 h 44 m 09 s ✓ e 23 h 50 m 47 s ✓ eL 24 h 05 m 40 s ✓ iP 23 h 42 m 02.5 s ✓ nach USCGS: H = 23 h 29 m 41 s, 44° ½ N, 144° E, bei der Nordküste von Hokkaido
61	6.	Ba	—	1	10	—	e 09 h 02 m 50.1 s ✓ e 09 h 03 m 26 s ✓ nach USCGS: H = 08 h 55 m 28 s, 28° N, 52° ½ E, Südpersien
62	6.	Ba	—	1	10	—	eP 21 h 00 m 47.1 s e 21 h 01 m 07 s nach USCGS: H = 20 h 53 m 12 s, Nachstoß von Nr. 61
63	8.	Zü Ne Ba	495 697 —	1 1 2	2 5 2	— — —	ePg 11 h 04 m 53.0 s eSg 11 h 05 m 50.4 s ePg 11 h 05 m 10.1 s eSg 11 h 06 m 32 s e 11 h 05 m 41.0 s e 11 h 06 m 11 s nach BCIS: H = 11 h 03.5 m, 46° 6' N, 14° 4' E, Istrien, Region des Monte Nevoso, verspürt in Triest (III)
64	13.	Ne Zü	— —	— 1	30 3	— —	eP 13 h 25 m 52.0 s ML eP 13 h 25 m 57.6 s ✓ nach USCGS: H = 13 h 13 m 10 s, 7° N, 82° W, Südküste von Panama, verspürt in El Salvador und in der Kanalzone
65	15.	Zü Ba Ne	— — —	— 2 1	3 3 5	— — —	eP 12 h 30 m 15.8 s e 12 h 31 m 15.1 s e 12 h 31 m 14.2 s e 12 h 32 m 26 s e 12 h 31 m 38.9 s e 12 h 32 m 46 s mikroseismische Unruhe nach BCIS: H = 12 h 28.2 m, 43° ¼ N, 17° ½ E, Jugoslawien
66	16.	Zü Ne Ba	— — —	— 1 2	2 3 6	— — —	eP 19 h 37 m 59.9 s ✓ eP 19 h 38 m 08.2 s ✓ eP 19 h 38 m 09.4 s ✓ nach USCGS: H = 19 h 32 m 43 s, 34° N, 36° E, Libanon, verspürt VIII—IX, Schadenbeben
67	16.	Zü Ba Ne	— — —	— 1 1	5 6 4	— — —	eP 19 h 48 m 49.4 s ✓ eP 19 h 48 m 55.3 s ✓ e 19 h 51 m 29 s ✓ iP 19 h 48 m 57.2 s ✓ nach USCGS: H = 19 h 43 m 28 s, Nachstoß von Nr. 66

Nr.	Datum	Station	Epizentral- entfernung nach S-P	Max. Doppel- Amplit.	Ungef. Dauer der Reg.	Tab. I Nr.	Phasen, Bemerkungen
	1956		km	mm	min		
	März						
68	17.	Ne Ba	83 134	1 1	1 1	—	iPn 01 h 23 m 17.3 s iSg 01 h 23 m 25 s eP 01 h 23 m 26.0 s eS 01 h 23 m 43 s H = 01 h 23 m 00 s, 46° ¼ N, 7° 1 E, Wallis (Schweiz)
69	18.	Zü Ba	120 187	2 1	1 1	—	ePn 01 h 30 m 56.6 s ePg 01 h 30 m 58.0 s eSn 01 h 31 m 11 s eSg 01 h 31 m 14 s eP 01 h 31 m 09.4 s ML eS 01 h 31 m 33 s nach BCIS: H = 01 h 30 m 32 s, 47° ¾ N, 10° ½ E, Bayern.
70	22.	Ne Ba Zü	95 141 148	1 2 2	1 1 1	10 10 10	ePg 02 h 43 m 42.2 s i 02 h 43 m 43.2 s iSg 02 h 43 m 54.5 s eP 02 h 43 m 50.2 s eS 02 h 44 m 08 s ePg 02 h 43 m 51.1 s eSg 02 h 44 m 10 s H = 02 h 43 m 25 s, 46° ¼ N, 7° ¾ E, verspürt in Montana (III), Wallis (Schweiz) (Tafel 3)
71	24.	Ne Ba Zü	89 132 155	3 2	1 1	11 11 11	iP* 02 h 21 m 31.2 s iPg 02 h 21 m 32.4 s iSg 02 h 21 m 44.0 s eP 02 h 21 m 39.2 s D eS 02 h 21 m 56 s iPn 02 h 21 m 40.5 s iPg 02 h 21 m 41.6 s eSg 02 h 22 m 00 s H = 02 h 21 m 14 s, 46° ¼ N, 7° ¼ E, verspürt in Montana (IV), Wallis (Schweiz) (Tafel 3)
72	25.	Ba Ne	—	2 1	6 30	—	eP 23 h 39 m 33.3 s eP 23 h 39 m 37.3 s nach USCGS: H = 23 h 27 m 31 s, 52° N, 159° E, bei der SE-Küste von Kamchatka
73	26.	Zü	—	—	—	—	e 04 h 11 m 26.9 s nach USCGS: H = 03 h 59 m 25 s, Nachstoß von Nr. 72.
74	31.	Zü Ba Ne	670 681 —	3 5 2	8 10 10	—	ePn 14 h 08 m 20.9 s iPg 14 h 08 m 42.6 s eSg 14 h 10 m 01.5 s eP 14 h 08 m 22.8 s eS 14 h 09 m 43 s iP 14 h 08 m 32.6 s e 14 h 10 m 43 s nach BCIS: H = 14 h 06 m 54 s, 47° N, 17° E, Ungarn, Schäden in Berbaltavar und Pakod
	April						
75	2.	Ne Ba	36 —	1 1	1 1	—	eP 03 h 02 m 26.7 s iS 03 h 02 m 32.1 s eS 03 h 02 m 55.9 s
76	2.	Ne	—	1	30	—	eP 11 h 02 m 52.1 s e 11 h 13 m 33 s nach USCGS: H = 10 h 49 m 56 s, 2° N, 97° E, Westküste von Sumatra
77	3.	Ba	—	1	1	—	eS 14 h 59 m 42.8 s
78	5.	Ba	—	1	1	—	eP 04 h 13 m 53.4 s K nach USCGS: H = 04 h 02 m 00 s, 53° N, 158° E, bei der Ostküste von Kamchatka
79	6.	Zü Ba Ne	4750 — —	2 3 2	13 30 30	—	eP 07 h 19 m 43.9 s ePP 07 h 21 m 15 s eS 07 h 26 m 12 s iP 07 h 19 m 48.1 s e 07 h 30 m 01 s iP 07 h 19 m 52.5 s nach BCIS: H = 07 h 11 m 40 s, h = ca. 220 km, 36° 5 N, 70° 5 E, Hindukusch
80	6.	Ne Ba Zü	84 144 141	8 5 3	2 2 2	12 12 12	iPg 17 h 18 m 29.6 s iSg 17 h 18 m 37.3 s i 17 h 18 m 41 s eP* 17 h 18 m 36.1 s iPg 17 h 18 m 37 s eSg 17 h 18 m 54 s ePn 17 h 18 m 38.3 s ePg 17 h 18 m 39 s eSg 17 h 18 m 56 s H = 17 h 18 m 14 s, 46° ¼ N, 7° ¼ E, verspürt in Montana (IV), Wallis (Schweiz) (Tafel 3)
81	6.	Ne	—	—	—	—	iS 17 h 22 m 42.3 s Nachstoß von Nr. 80
82	6.	Ne Zü	— —	1 1	1 1	—	e 20 h 10 m 15.4 s e 20 h 10 m 19 s e 20 h 10 m 17.2 s e 20 h 10 m 26 s
83	7.	Ne	—	< 1/2	< 1/2	—	e 18 h 27 m 05.3 s e 18 h 27 m 06 s
84	10.	Zü	145	1	1/2	—	ePn 11 h 53 m 00 s ML eSg 11 h 53 m 18 s
85	10.	Zü Ne Ba	— — —	3 2 1	15 30 30	—	eP 13 h 29 m 52 s e 13 h 39 m 34 s eP 13 h 29 m 53.4 s e 13 h 38 m 40 s eP 13 h 30 m 04.2 s e 13 h 39 m 40 s nach USCGS: H = 13 h 16 m 04 s, h = ca. 150 km, 3° S, 102° E, bei der Südküste von Sumatra
86	12.	Zü Ba Ne	— — —	1 1 < 1/2	7 6 30	—	eP 22 h 41 m 13.7 s eP 22 h 41 m 20.4 s e 22 h 43 m 06 s eP 22 h 41 m 23.7 s nach USCGS: H = 22 h 34 m 44 s, 37° N, 50° E, Nord-Persien

Nr.	Datum	Station	Epizentral- entfernung nach S-P	Max. Doppel- Amplit.	Ungef. Dauer der Reg.	Tab. I Nr.	Phasen, Bemerkungen
	1956		km	mm	min		
	April						
87	13.	Ba Zü	— —	1 1	6 6	—	eP 07 h 10 m 02.5 s eP 07 h 10 m 04.7 s nach BCIS: H = 07 h 05.9 m, ca. 100 km von der Südküste der Insel Kreta
88	19.	Ba Ne Zü	1040 — —	3 1 1	6 10 4	—	eP 18 h 44 m 06.6 s eS 18 h 45 m 55 s e 18 h 45 m 26.6 s e 18 h 46 m 16 s nach BCIS: H = 18 h 38 m 53 s, 37° 2 N, 3° 7 W, Sierra Elvira, Spanien, erspürt (VIII), Schadenbeben.
89	20.	Ne Ba	— —	1 1	10 6	—	eP 16 h 49 m 06.5 s eP 16 h 49 m 14.5 s nach BCIS: H = 16 h 37 m 01 s, 12° S, 67° E, ca. 800 km im SW der Chagosinseln
90	22.	Ne	—	1	10	—	eP 17 h 34 m 00.2 s nach USCGS: H = 17 h 21 m 53 s, 54° N, 162° W, auf der Südhälfte von Alaska
91	23.	Zü Ba Ne	— 9000 9200	1 3 1	5 90 90	—	e 03 h 44 m 01.5 s eP 03 h 44 m 02.7 s eS 03 h 54 m 17 s eL 03 h 21 m 50 s iP 03 h 44 m 05.7 s eS 03 h 54 m 25 s nach CMO (Japan): H = 03 h 31 m 39 s, h = 60 km, 42° 4 N, 145° E, an der Ostküste von Hokkaido
92	24.	Ba	—	1	1	—	eS 10 h 54 m 33.8 s
93	25.	Ba Ne	— —	1 1	10 6	—	e 08 h 05 m 33.2 s e 08 h 08 m 47 s e 08 h 08 m 46.8 s nach BCIS: H = 08 h 01 m 00 s, 39° 2 N, 22° 2 E, Thessalien, Griechenland, erspürt in Halmyros V
94	25.	Ne Ba	— —	< 1/2 1	4 1	—	eP 08 h 49 m 43.9 s eP 08 h 50 m 13.5 s nach USCGS: H = 08 h 29 m 58 s, 17° S, 175° E, Fidji-Inseln
95	25.	Zü Ba	— —	1 1	3 4	—	eP 18 h 55 m 23 s e 18 h 56 m 01 s eP 18 h 55 m 26.7 s e 18 h 56 m 12 s nach Rom: Etruskischer Apennin, Norditalien, Vorläufer von Nr. 98
96	26.	Zü Ba	— —	1 1	1 3	—	eP 02 h 01 m 24.4 s e 02 h 01 m 54 s eP 02 h 01 m 30.6 s e 02 h 02 m 06 s nach Rom: Vorläufer von Nr. 98
97	26.	Ba Zü	— —	1 1	3 1	—	e 02 h 55 m 26.1 s e 02 h 56 m 06 s e 02 h 55 m 38.5 s e 02 h 55 m 56.4 s nach Rom: Vorläufer von Nr. 98
98	26.	Zü Ne Ba	— — —	3 2 6	7 10 6	—	eP 03 h 01 m 07.0 s e 03 h 01 m 20 s eP 03 h 01 m 09.8 s e 03 h 02 m 29 s eP 03 h 01 m 17.1 s e 03 h 01 m 52 s nach Rom: H = 03 h 00 m 03 s, 44° 09' N, 11° 18' 7 E, nördl. von Florenz, erspürt in Firenzuola und Pietramola VI
99	26.	Ba Zü	— —	1 1	3 2	—	eP 06 h 15 m 18.5 s e 06 h 15 m 46 s e 06 h 15 m 20 s nach Rom: Nachstoß von Nr. 98
100	29.	Ne	—	1	6	—	eP 22 h 02 m 24.6 s nach USCGS: H = 21 h 52 m 31 s, 6° ½ S, 51° ½ E, Admiralsinseln, Indischer Ozean.
	Mai						
101	1.	Ba	450	1	3	—	eP 23 h 21 m 05.8 s eS 23 h 21 m 59 s
102	2.	Zü Ba	62 —	— 1	— 1	—	iP 00 h 26 m 07.5 s iS 00 h 26 m 15.9 s eS 00 h 26 m 25.8 s
103	2.	Ba	—	1	1	—	eS 10 h 12 m 24.8 s
104	2.	Zü	—	—	—	—	eP 11 h 51 m 23.6 s nach BCIS: H = 11 h 48 m 25 s, 47° ½ N, 17° ¼ E, Ungarn
105	2.	Zü	27	1/2	< 1/2	—	eP 17 h 39 m 01.4 s eS 17 h 39 m 06 s e 17 h 39 m 07 s
106	5.	Ba	—	1	6	—	ePKP 03 h 42 m 22.4 s nach USCGS: H = 03 h 22 m 27 s, h = ca. 100 km, 15° ½ S, 173° W, Region der Samoa-Inseln.

Nr.	Datum	Station	Epizentral- entfernung nach S-P	Max. Doppel- Amplit.	Ungef. Dauer der Reg.	Tab. I Nr.	Phasen, Bemerkungen
	1956		km	mm	min		
	Mai						
107	6.	Ba Ne	—	1	1	—	eP 21 h 09 m 19.7 s eP 21 h 09 m 22.4 s nach USCGS: H = 20 h 57 m 16 s, 54° ½ N, 162° ½ W, Region der Insel Unimak, Alaska
108	8.	Zü	—	1	30	—	e 10 h 58 m 44.1 s e 10 h 59 m 10 s
109	8.	Ba Ne	—	1	6	—	eP 20 h 57 m 42.1 s eP 20 h 57 m 44.1 s nach BCIS: H = 20 h 50 m 04 s, 28° 0 N, 52° 8 E, Nordküste des Golfes von Persien
110	9.	Zü Ba	41 120	4 1	1	—	iP 02 h 27 m 44.8 s iS 02 h 27 m 49.6 s eP 02 h 27 m 59.8 s eS 02 h 28 m 14 s H = 02 h 27 m 38 s, 47° 40' N, 9° 00' E, Gegend von Weinfelden (Ostschweiz)
111	10.	Zü Ne Ba	310 — 350	1 <1/2 1	1 6 2	—	ePn 12 h 59 m 25.1 s eSg 13 h 00 m 11 s e 13 h 00 m 21 s eP 12 h 59 m 35.0 s eP 12 h 59 m 43.9 s eS 13 h 00 m 25 s
112	11.	Ba	—	1	1	—	eS 10 h 57 m 58.7 s
113	13.	Ne	—	<1/2	6	—	eP 07 h 59 m 35.9 s nach USCGS: H = 07 h 50 m 33 s, 30° N, 70° E, Zentralpakistan
114	13.	Ne Ba	185 163	1 1	3 1	—	eP 12 h 55 m 32.4 s eS 12 h 55 m 54 s eP 12 h 55 m 40.9 s eS 12 h 56 m 00 s
115	14.	Ne	—	1	1	—	e 13 h 53 m 58.6 s iS 13 h 54 m 02.8 s
116	15.	Ne Zü Ba	— — 1650	1 2 2	30 10 10	—	e 18 h 37 m 01.4 s e 18 h 43 m 02 s eP 18 h 37 m 31.2 s eP 18 h 37 m 41.6 s eS 18 h 40 m 27 s nach USCGS: H = 18 h 34 m 15 s, 37° ½ N, 21° E, bei der Westküste von Griechenland
117	15.	Ba	—	1	1	—	e 20 h 15 m 03.1 s eS 20 h 15 m 13 s
118	15.	Zü Ne Ba	1540 — —	3 2 3	11 30 10	—	eP 23 h 00 m 22.0 s eS 23 h 03 m 00 s e 23 h 05 m 41 s eP 23 h 00 m 23.0 s e 23 h 05 m 53 s eP 23 h 00 m 30.0 s i 23 h 02 m 00 s nach BCIS: H = 22 h 56 m 56 s, 38° 0 N, 20° 8 E, Jonische Inseln, verspürt auf der Insel Zante (V)
119	16.	Ne	105	1	1	13	iP 21 h 10 m 29.1 s i 21 h 10 m 36.6 s iS 21 h 10 m 40.4 s (Tafel 3)
120	18.	Zü Ba Ne	1530 1580 —	5 5 2	10 6 30	—	eP 22 h 11 m 37.4 s eS 22 h 14 m 09 s eP 22 h 11 m 44.7 s eS 22 h 14 m 29 s eP 22 h 11 m 53.7 s e 22 h 14 m 18 s e 22 h 16 m 30 s nach BCIS: H = 22 h 08 m 30 s, 39° ½ N, 23° ½ E, Ostküste von Griechenland, in der Gegend von Larissa verspürt (V—VI)
121	19.	Ne Ba	— —	1 1	10 6	—	ePKP 01 h 49 m 55.6 s e 01 h 53 m 16 s ePKP 01 h 49 m 59.6 s e 01 h 52 m 40 s nach USCGS: H = 01 h 30 m 36 s, 7° S, 156° E, Salomoninseln, verspürt in Karoola
122	20.	Ne	—	<1/2	3	—	e 17 h 36 m 09.3 s e 17 h 36 m 40 s
123	21.	Zü Ba Ne	42 80 158	8 2 <1/2	2 1 2	14 14 14	iP 02 h 18 m 54.0 s iS 02 h 18 m 59.1 s eP 02 h 19 m 11.4 s ML eS 02 h 19 m 21 s eP 02 h 19 m 17.3 s iS 02 h 19 m 36 s H = 02 h 18 m 47 s, 47° 40' N, 8° 50' E, Gegend von Dießenhofen, verspürt in Frauenfeld (III), Ostschweiz (Tafel 3)
124	22.	Ba Zü Ne	— — —	2 1 1	6 4 10	—	ePKP 03 h 20 m 50.3 s ePKP 03 h 20 m 51.8 s e 03 h 21 m 09 s ePKP 03 h 20 m 53.7 s nach USCGS: H = 03 h 01 m 03 s, 15° ½ S, 173° W, Samoa-Inseln, verspürt in Apia (IV—V)
125	22.	Ba Ne	14400 14400	1 1	6 10	—	ePKP 13 h 54 m 14.7 s ePP 13 h 56 m 28 s ePKP 13 h 54 m 22.4 s ePP 13 h 56 m 35 s nach USCGS: H = 13 h 36 m 12 s, h = ca. 550 km, 4° S, 152° ½ E, Neuirland
126	23.	Ba Zü Ne	— — —	>90 24 33	120 60 90	—	ePKP 21 h 07 m 24.0 s e 21 h 09 m 09 s ePKP 21 h 07 m 25 s ML iPKP 21 h 07 m 25.3 s e 21 h 09 m 11 s e 21 h 16 m 44 s e 21 h 22 m 37 s nach USCGS: H = 20 h 48 m 30 s, h = ca. 450 km, 15° ½ S, 179° W, Fidji-Inseln

Nr.	Datum	Station	Epizentral- entfernung nach S-P	Max. Doppel- Amplit.	Ungef. Dauer der Reg.	Tab. I Nr.	Phasen, Bemerkungen
	1956		km	mm	min		
	Mai						
127	26.	Ba	530	2	2	—	eP 17 h 11 m 11.0 s eS 17 h 12 m 03 s
128	26.	Zü Ne	— 520	4 2	2 6	—	eP 17 h 18 m 00.2 s e 17 h 18 m 02 s e 17 h 18 m 08 s iP 17 h 18 m 07.9 s iS 17 h 18 m 59 s nach BCIS: H = 17 h 16 m 58 s, Etruskischer Apennin, Vorläufer von Nr. 129
129	26.	Zü Ne Ba	520 530 510	18 11 25	9 10 30	—	eP 18 h 41 m 01.2 s e 18 h 41 m 12 s eS 18 h 41 m 54 s iP 18 h 41 m 08.2 s eS 18 h 42 m 02 s e 18 h 42 m 21 s eP 18 h 41 m 10.0 s eS 18 h 42 m 08 s nach BCIS: H = 18 h 49 m 59 s, 43° 9 N, 11° 3 E, Etruskischer Apennin, verspürt in Mugello (VII)
130	26.	Zü Ba Ne	— — —	1 3 2	10 6 10	—	ePKP 20 h 40 m 00.6 s e 20 h 40 m 33 s e 20 h 40 m 53 s ePKP 20 h 40 m 02.0 s e 20 h 40 m 13 s e 20 h 40 m 25 s e 20 h 41 m 30 s ePKP 20 h 40 m 07.0 s epPKP 20 h 42 m 41 s nach USCGS: H = 20 h 21 m 14 s, h = ca. 550 km, 19° S, 178° ½ W, Fidji-Inseln
131	27.	Ba	—	1	1	—	eP 03 h 01 m 37.7 s
132	27.	Ba	—	1	1	—	eP 03 h 14 m 54.1 s
133	29.	Ba	—	2	1	—	e 11 h 04 m 26.7 s eS 11 h 04 m 33 s
134	29.	Ne	49	5	1	—	eP 16 h 16 m 04.0 s eS 16 h 16 m 10 s
135	29.	Ba	—	5	90	—	eP 16 h 22 m 11.7 s e 16 h 23 m 12 s e 16 h 23 m 39 s nach BCIS: H = 16 h 21.2 m, Nachstoß von Nr. 129
136	29.	Ne	—	1	6	—	iP 18 h 22 m 19.3 s e 18 h 23 m 11 s
	Juni						
137	1.	Ba	—	1	2	—	e 02 h 27 m 15.4 s eS 02 h 27 m 51 s
138	1.	Ne Ba Zü	270 330 300	3 7 2	4 6 4	—	iP 08 h 33 m 30.4 s eS 08 h 34 m 02 s eP 08 h 33 m 39.4 s e 08 h 33 m 44 s eS 08 h 34 m 19 s ePn 08 h 33 m 41.1 s e 08 h 33 m 47 s eSg 08 h 34 m 25 s nach BCIS: H = 08 h 32 m 52 s, 44° 8 N, 7° 1 E, West-Alpen
139	2.	Ba	—	1	2	—	e 21 h 37 m 48.5 s eS 21 h 38 m 09 s nach BCIS: H = 21 h 35.6 m, Vorläufer von Nr. 140
140	3.	Zü Ne Ba	475 430 420	2 1 2	4 5 4	—	ePn 01 h 47 m 08.0 s ePg 01 h 47 m 23.2 s eSn 01 h 47 m 54 s eSg 01 h 48 m 22 s ePg 01 h 47 m 11.9 s eSn 01 h 48 m 05 s eP 01 h 47 m 14.3 s eS 01 h 48 m 07 s nach BCIS: H = 01 h 45 m 57 s, 44° N, 11° 4 E, Etruskischer Apennin, verspürt in San Pietro und Bagno (nach Rom)
141	3.	Ba	—	1	1	—	e 05 h 28 m 17.3 s e 05 h 28 m 31 s nach USCGS: H = 05 h 19 m 23 s, 79° ½ N, 118° ½ W, nördl. Eismeer
142	4.	Ba	—	1	10	—	eP 07 h 21 m 38.2 s nach USCGS: H = 07 h 09 m 18 s, 52° N, 170° ½ W, Fuchs-Inseln, Aleuten
143	4.	Ba	—	1	6	—	eP 23 h 39 m 56.5 s nach BCIS: H = 23 h 37 m 34 s, Nachstoß von Nr. 140
144	9.	Ne	—	2	30	—	e 11 h 02 m 16.5 s
145	9.	Zü Ba Ne	4800 5100 5300	45 50 30	80 120 90	—	eP 23 h 22 m 08.3 s e 23 h 22 m 18 s eS 23 h 28 m 32 s eP 23 h 22 m 12.7 s eS 23 h 29 m 05 s iP 23 h 22 m 16.3 s eS 23 h 29 m 17 s e 23 h 32 m 37 s Azimut 80° nach USCGS: H = 23 h 13 m 51 s, 35° ½ N, 67° ½ E, Afghanistan, Schadenbeben
146	10.	Zü Ba Ne	445 540 565	2 3 1	5 6 5	—	ePn 13 h 49 m 48.0 s e 13 h 49 m 58 s eSg 13 h 50 m 56 s eP 13 h 49 m 57.4 s eS 13 h 51 m 14 s iPg 13 h 50 m 01.3 s eSg 13 h 51 m 31 s nach BCIS: H = 13 h 48 m 42 s, 47° 1 N, 14° 6 E, Steiermark, Österreich, verspürt in Judenburg (nach Wien)
147	11.	Ba Ne	2200 2300	1 1	10 6	—	eP 01 h 15 m 50.6 s eS 01 h 19 m 26 s eP 01 h 15 m 51 s ML eS 01 h 19 m 39 s nach USCGS: H = 01 h 11 m 24 s, 34° ½ N, 26° ½ E, bei der Südküste der Insel Kreta
148	11.	Ne Ba	— 3000	3 1	30 10	—	eP 08 h 27 m 36.1 s e 08 h 35 m 02 s eP 08 h 27 m 43.6 s eS 08 h 32 m 14 s nach USCGS: H = 08 h 22 m 09 s, 52° N, 31° ½ W, Nordatlantik

Nr.	Datum	Station	Epizentral-entfernung nach S-P			Tab. I Nr.	Phasen, Bemerkungen
			km	mm	min		
1956							
Juni							
149	17.	Ba	176	1	1	—	eP 06 h 37 m 11.4 s eS 06 h 37 m 32 s
150	18.	Zü	—	1	1	—	e 22 h 00 m 16.7 s e 22 h 00 m 22 s
151	23.	Zü Ba Ne	— — 8700	2 4 3	7 30 90	—	eP 02 h 29 m 43.4 s eP 02 h 29 m 44.2 s e 02 h 40 m 37 s iP 02 h 29 m 47.9 s eS 02 h 39 m 49 s nach USCGS: H = 02 h 18 m 02 s, 56° ½ N, 163° ½ E, bei der Ostküste von Kamtschatka
152	24.	Zü	—	2	1	—	eP 13 h 58 m 57.8 s e 13 h 59 m 01 s e 13 h 59 m 09 s
153	24.	Zü	—	1	1	—	eP 14 h 05 m 42.9 s e 14 h 05 m 57 s
154	24.	Ne	—	<1/2	6	—	ePKP 21 h 17 m 54.2 s e 21 h 21 m 17 s nach USCGS: H = 20 h 58 m 36 s, 7° S, 155° E, Salomon-Inseln
155	26.	Ba	—	1	2	—	ePKP 00 h 19 m 54.1 s nach USCGS: H = 00 h 00 m 13 s, 17° S, 169° ½ E, Neue Hebriden
156	26.	Ba	—	1	1	—	eP 03 h 09 m 54.0 s
157	28.	Zü Ba Ne	— 1100 1580	2 8 3	8 30 10	—	eP 17 h 44 m 28.0 s eP 17 h 44 m 38.0 s eS 17 h 46 m 31 s eP 17 h 44 m 41.9 s eS 17 h 47 m 20 s nach BCIS: H = 17 h 42 m 31 s, 44° 1 N, 18° 6 E, im NE von Sarajewo, Jugoslawien
158	28.	Ba Ne	— 8500	1 2	90 90	—	e 23 h 10 m 48.8 s eL 23 h 38 m 30 s eP 23 h 10 m 52.9 s ML eS 23 h 20 m 44 s nach USCGS: H = 22 h 58 m 50 s, 48° ¼ N, 129° ¼ W, an der Küste der Insel von Vancouver, Britisch-Kolumbien
159	29.	Ne	—	<1/2	4	—	eP 02 h 26 m 33.8 s nach USCGS: H = 02 h 18 m 28 s, 28° N, 57° E, Südpersien
160	29.	Ba	—	1	1	—	e 12 h 00 m 54.8 s
161	30.	Zü Ba Ne	— 1850	2 2 1	11 2 30	—	eP 01 h 53 m 56.4 s e 01 h 56 m 45 s eP 01 h 54 m 08.8 s eS 01 h 57 m 14 s eP 01 h 54 m 13.7 s e 01 h 58 m 45 s nach USCGS: H = 01 h 50 m 20 s, 44° N, 29° E, Schwarzes Meer, bei der Küste von Rumänien
Juli							
162	3.	Ba	112	1	1	—	eP 10 h 45 m 23.8 s eS 10 h 45 m 37 s
163	3.	Zü Ba Ne	— — —	<1/2 1 1	5 6 30	—	eP 23 h 34 m 27.2 s e 23 h 34 m 46 s e 23 h 35 m 01 s iP 23 h 34 m 28.8 s D e 23 h 36 m 42 s iP 23 h 34 m 32.4 s nach USCGS: H = 23 h 26 m 17 s, h = ca. 250 km, 36° ½ N, 71° E, Hindukusch
164	4.	Zü Ne Ba	— — —	<1/2 <1/2 1	1 6 3	—	ePKP 00 h 58 m 58.5 s e 00 h 59 m 10 s ePKP 00 h 59 m 00.5 s ePKP 00 h 59 m 07.8 s nach USCGS: H = 00 h 39 m 55 s, h = ca. 450 km, 18° S, 178° ½ W, Fidji-Inseln
165	4.	Ne	—	<1/2	4	—	e 04 h 05 m 34.1 s
166	4.	Ba Ne	— —	1 <1/2	1 1	—	eP 13 h 55 m 12.5 s iP 13 h 55 m 15.0 s e 13 h 55 m 18 s
167	8.	Zü	—	—	—	—	eP 03 h 16 m 36.7 s e 03 h 17 m 07 s e 03 h 19 m 50 s
168	8.	Ba Ne Zü	— — —	1 <1/2 2	6 10 5	—	eP 08 h 33 m 39.7 s e 08 h 36 m 00 s eP 08 h 33 m 43.7 s e 08 h 36 m 39 s eP 08 h 33 m 45.7 s e 08 h 35 m 46 s nach BCIS: Im Norden des Adriatischen Meeres, nicht übereinstimmende Angaben der verschiedenen Stationen
169	8.	Ba Ne	— —	1 <1/2	4 4	—	e 10 h 44 m 14.6 s e 10 h 46 m 15.6 s nach BCIS: H = 10 h 40.7 m, 42° 3 N, 21° 4 E, Jugoslawien, verspürt in Zegra (VI) (nach Belgrad)
170	8.	Ba	—	1	3	—	e 13 h 13 m 00.4 s

Nr.	Datum	Station	Epizentral-entfernung nach S-P			Tab. I Nr.	Phasen, Bemerkungen
			km	mm	min		
1956							
Juli							
171	9.	Ch Zü Ba Ne	2010 1940 2055 2020	— — >90 90	— 90 90 90	—	eP 03 h 15 m 26.1 s iS 03 h 18 m 47.2 s iP 03 h 15 m 36.7 s iS 03 h 18 m 50.1 s eP 03 h 15 m 44.6 s K eS 03 h 19 m 09 s iP 03 h 15 m 44.7 s eS 03 h 19 m 06 s e 03 h 22 m 00 s e 03 h 24 m 32 s nach BCIS: H = 03 h 11 m 38 s, 36° 9 N, 26° 0 E, Santorin (VIII-IX), Schadenbeben, Vulkanausbruch
172	9.	Ne Ba	2040 2210	2 2	30 30	—	eP 06 h 23 m 12.7 s eS 06 h 26 m 34 s eP 06 h 23 m 17.2 s eS 06 h 26 m 56 s nach USCGS: H = 06 h 19 m 07 s, Nachstoß von Nr. 171
173	9.	Ne	1940	<1/2	10	—	eP 07 h 40 m 31.7 s eS 07 h 43 m 44 s nach BCIS: H = 07 h 36 m 27 s, Nachstoß von Nr. 171
174	9.	Ne	2000	<1/2	6	—	eP 09 h 49 m 11.7 s eS 09 h 52 m 30 s nach BCIS: H = 09 h 45 m 06 s, Nachstoß von Nr. 171
175	9.	Ne Ba Zü Ch	7600 7600 — 7800	2 4 2 —	30 30 9 —	—	iP 10 h 07 m 14.5 s eS 10 h 16 m 13 s eP 10 h 07 m 16.8 s D eS 10 h 16 m 16 s eP 10 h 07 m 21.3 s e 10 h 07 m 42 s eP 10 h 07 m 25.5 s D i 10 h 07 m 26.2 s eS 10 h 16 m 38 s nach USCGS: H = 09 h 56 m 13 s, h = ca. 100 km, 20° N, 73° W, bei der Küste von Haiti, einige Schäden in Port de Paix
176	9.	Ne	—	<1/2	3	—	e 11 h 34 m 57 s ML nach BCIS: H = 11 h 30 m 48 s, Nachstoß von Nr. 171
177	9.	Ba Ne	— —	1 <1/2	30 3	—	eP 20 h 14 m 20.2 s e 20 h 16 m 58 s e 20 h 14 m 30.5 s nach BCIS: H = 20 h 10 m 24 s, Nachstoß von Nr. 171
178	9.	Zü Ne	— 2040	1 1	5 30	—	eP 20 h 17 m 51.0 s e 20 h 17 m 55 s eP 20 h 17 m 58.7 s eS 20 h 21 m 21 s nach BCIS: H = 20 h 13 m 53 s, Nachstoß von Nr. 171
179	9.	Zü	—	1/2	1	—	eP 20 h 52 m 05.3 s nach BCIS: H = 20 h 48 m 02 s, Nachstoß von Nr. 171
180	9.	Zü Ba Ne	— — 1940	1/2 1 <1/2	3 3 10	—	eP 21 h 32 m 44.2 s eP 21 h 32 m 48.1 s eP 21 h 32 m 51.0 s eS 21 h 36 m 04 s nach BCIS: H = 21 h 28 m 41 s, Nachstoß von Nr. 171
181	10.	Ne	—	<1/2	4	—	eP 02 h 03 m 41.7 s nach BCIS: H = 01 h 59 m 40 s, Nachstoß von Nr. 171.
182	10.	Ch Zü Ne Ba	— — 1970 2080	— 1 1 2	— 11 30 10	—	eP 03 h 05 m 13.7 s eL 03 h 13 m 10 s eP 03 h 05 m 23.8 s eP 03 h 05 m 33.4 s eS 03 h 08 m 49 s eP 03 h 05 m 34.7 s eS 03 h 09 m 01 s nach BCIS: H = 03 h 01 m 25 s, Nachstoß von Nr. 171
183	10.	Zü	—	2	<1/2	—	iP 17 h 26 m 02.9 s
184	10.	Zü	—	2	<1/2	—	iP 17 h 30 m 39.2 s
185	10.	Zü	—	1/2	1/2	—	iP 17 h 39 m 00.5 s
186	12.	Ch Ba Ne	— — —	— 2 1	— 6 6	—	eP 15 h 12 m 33.8 s eP 15 h 12 m 41.6 s D eP 15 h 12 m 44.0 s nach USCGS: H = 15 h 01 m 26 s, h = ca. 100 km, 23° N, 94° ½ E, Burma
187	13.	Ch	8	—	—	—	iPg 01 h 25 m 47.0 s iSg 01 h 25 m 48.0 s Lokalbeben, vermutlich in der Gegend von Passugg
188	14.	Zü	—	1/2	1	—	e 16 h 00 m 10.8 s
189	15.	Ne Ba Zü	115 148 160	4 2 1	2 2 1	—	eP 08 h 21 m 06.5 s i 08 h 21 m 08 s iS 08 h 21 m 20 s eP 08 h 21 m 17.6 s eS 08 h 21 m 35 s iP 08 h 21 m 19.3 s iS 08 h 21 m 38.4 s H = 08 h 20 m 49 s, 46° 10' N, 7° 39' E, Val d'Annivier, Wallis (Schweiz)
190	15.	Ba	—	2	1	—	eP 13 h 04 m 51.6 s nach USCGS: H = 12 h 52 m 16 s, h = ca. 500 km, 28° N, 139° E, Region der Bonin-Inseln
191	15.	Ba	—	1	1	—	iP 17 h 01 m 11.4 s

Nr.	Datum	Station	Epizentral-entfernung nach S-P	Max. Doppel-Amplit.	Ungef. Dauer der Reg.	Tab. I Nr.	Phasen, Bemerkungen
	1956		km	mm	min		
	Juli						
192	16.	Ba Ch Zü Ne	8000	10 4 7	90 60 90	—	e 15 h 18 m 30.8 s eS 15 h 27 m 54 s eP 15 h 18 m 31.2 s eP 15 h 18 m 34.6 s eP 15 h 18 m 45.2 s eS 15 h 28 m 11 s nach USCGS: H = 15 h 07 m 10 s, h = ca. 100 km, 22° N, 95° ½ E, Zentrum von Burma, Schadenbeben
193	17.	Ba Ch Ne Zü	—	2 1 2	30 30 20	—	e 07 h 50 m 31.6 s e 07 h 53 m 08 s e 08 h 02 m 02 s e 07 h 51 m 56.7 s e 07 h 52 m 58 s e 07 h 57 m 58 s e 07 h 51 m 57.8 s e 07 h 52 m 00 s e 07 h 58 m 00 s nach USCGS: H = 07 h 34 m 07 s, h = ca. 450 km, 7° S, 126° ½ E, Banda-Meer
194	17.	Ba	—	1	2	—	eP 09 h 17 m 01.6 s
195	17.	Ba	—	1	4	—	eP 15 h 25 m 17.6 s nach USCGS: H = 15 h 19 m 38 s, 41° N, 27° W, Region der Azoren-Inseln
196	18.	Ch Zü Ne Ba	—	2 2 5	15 90 90	—	ePKP 06 h 37 m 58.7 s e 06 h 44 m 30 s ePKP 06 h 38 m 01.2 s ePKP 06 h 38 m 01.4 s ePP 06 h 39 m 10 s ePKP 06 h 38 m 04.2 s e 06 h 48 m 32 s nach USCGS: H = 06 h 19 m 15 s, 5° S, 130° E, Banda-Meer
197	18.	Ba	58	2	1	—	eP 10 h 48 m 14.2 s eS 10 h 48 m 21 s
198	19.	Ba	—	1	6	—	eP 23 h 38 m 22.0 s nach USCGS: H = 23 h 26 m 25 s, 9° ½ N, 84° ½ W, an der Küste von Costa Rica, verspürt in San José
199	19.	Zü	—	1	2	—	eP 23 h 49 m 03.4 s nach USCGS: H = 23 h 38 m 04 s, Nachstoß von Nr. 198
200	20.	Ba	106	1	1	—	eP 11 h 14 m 50.4 s eS 11 h 15 m 03 s
201	21.	Ne Ba Zü	60 150 170	2 2 2	1 2 2	—	eP 01 h 57 m 58 s ML iS 01 h 58 m 05 s eP 01 h 58 m 06.4 s eS 01 h 58 m 24 s eP 01 h 58 m 06.9 s eS 01 h 58 m 27 s H = 01 h 57 m 40 s, 46° 20' N, 6° 40' E, Genferseegebiet
202	21.	Zü	—	1	2	—	e 07 h 05 m 02.1 s
203	21.	Ch Zü Ba Ne	6200	2 2 2	30 30 30	—	iP 15 h 41 m 47.8 s K eP 15 h 41 m 52.7 s eP 15 h 41 m 59.2 s eP 15 h 42 m 01.3 s eS 15 h 49 m 41 s nach USCGS: H = 15 h 32 m 25 s, 23° N, 70° E, im Westen von Indien, Schadenbeben.
204	22.	Zü Ne Ba	—	1 1 1	3 10 6	—	eP 03 h 32 m 58.5 s eP 03 h 33 m 06.3 s eP 03 h 33 m 07.1 s nach BCIS: H = 03 h 28 m 59 s, 37° 0 N, 26° 3 E, Nachstoß von Nr. 171
205	24.	Ba	107	3	1	—	eP 14 h 57 m 51.3 s eS 14 h 58 m 04 s
206	24.	Ba	107	3	1	—	eP 14 h 59 m 21.3 s eS 14 h 59 m 34 s
207	28.	Ch Ba	—	1/2 1	— 4	—	ePg 06 h 16 m 25.6 s D e 06 h 16 m 56.9 s e 06 h 17 m 28.2 s e 06 h 17 m 54 s nach BCIS: H = 06 m 15 m 36 s, 44° 1 N, 11° 8 E, Etruskischer Apennin
208	28.	Ba	—	1	3	—	eP 07 h 11 m 25.4 s
209	30.	Ch Ba Ne	—	— 2 1	— 10 10	—	eP 05 h 44 m 54.6 s eP 05 h 45 m 16.3 s eP 05 h 45 m 16.4 s e 05 h 51 m 15 s nach BCIS: H = 05 h 41 m 00 s, 35° ¼ N, 25° ¼ E, im NE von Kreta (V), Vorläufer von Nr. 210
210	30.	Ch Zü Ne Ba	2000 2050 2200 1950	— 9 6 10	— 16 30 30	—	eP 09 h 18 m 53.2 s eS 09 h 22 m 09.4 s eP 09 h 19 m 05.0 s eS 09 h 22 m 23.2 s eP 09 h 19 m 08.2 s i 09 h 19 m 12.4 s eS 09 h 22 m 41 s Azimut = 110° eP 09 h 19 m 12.5 s eS 09 h 22 m 25 s nach BCIS: H = 09 h 14 m 57 s, 35° ¼ N, 25° ¼ E, verspürt auf Kreta (V-VI)
211	30.	Ne	—	1	3	—	eP 09 h 25 m 29.0 s nach BCIS: H = 09 h 21 m 16 s, Nachstoß von Nr. 210

Nr.	Datum	Station	Epizentral-entfernung nach S-P	Max. Doppel-Amplit.	Ungef. Dauer der Reg.	Tab. I Nr.	Phasen, Bemerkungen
	1956		km	mm	min		
	Juli						
212	30.	Ch Ne Ba Zü	—	— 1 3 2	— 10 10 8	—	eP 10 h 43 m 51.3 s e 10 h 46 m 35.3 s eP 10 h 44 m 08.7 s eP 10 h 44 m 09.9 s e 10 h 47 m 30 s e 10 h 44 m 11.8 s nach BCIS: H = 10 h 39 m 57 s, Nachstoß von Nr. 210
	Aug.						
213	1.	Zü Ba Ne	105 148 245	32 4 8	9 4 4	—	iP 09 h 40 m 50.8 s iS 09 h 41 m 03.3 s eP 09 h 40 m 54.4 s i 09 h 40 m 56 s eS 09 h 41 m 12 s eP 09 h 41 m 03.8 s i 09 h 41 m 08 s eS 09 h 41 m 33 s i 09 h 41 m 38 s nach Stuttgart: H = 09 h 40 m 32.6 s, h = 7 km, 48° 17' 8 N, 9° 00' 5 E, Schwäbischer Jura, verspürt III-IV, Schüttergebiet ca. 18 000 km ²
214	3.	Ba	66	1	1	—	eP 07 h 57 m 45.2 s eS 07 h 57 m 53 s
215	9.	Ne	—	<1/2	6	—	iP 03 h 41 m 18.9 s nach BCIS: H = 03 h 37 m 11 s, Nachstoß von Nr. 210
216	9.	Ba	107	1	1	—	eP 10 h 56 m 52.4 s eS 10 h 57 m 05 s
217	9.	Ba	—	1	1	—	e 11 h 35 m 34.4 s nach Stuttgart: H = 11 h 35 m 17.7 s, h = ca. 7 km, Nachstoß von Nr. 213
218	9.	Ba	20	1	1	—	eP 16 h 05 m 08.6 s eS 16 h 05 m 11 s
219	9.	Ba Ne Zü	— — —	4 4 4	30 30 8	—	e 23 h 19 m 10.2 s e 23 h 20 m 28 s e 23 h 19 m 59 s ML e 23 h 20 m 04 s
220	11.	Ba	—	2	4	—	eP 12 h 33 m 55.3 s e 12 h 35 m 41 s
221	11.	Zü Ne Ba	210 380 —	1 1 1	2 4 2	—	eP 14 h 49 m 50.0 s eS 14 h 50 m 16 s eP 14 h 50 m 03.9 s eS 14 h 50 m 47 s e 14 h 50 m 36.0 s e 14 h 51 m 34 s
222	12.	Ne Ba Zü	115 148 163	8 7 6	3 3 3	17 17 17	iP 04 h 21 m 50.3 s i 04 h 21 m 52.9 s eS 04 h 22 m 04 s Azimut 160° eP 04 h 21 m 58.4 s i 04 h 21 m 59 s eS 04 h 22 m 16 s iP 04 h 22 m 00.7 s eS 04 h 22 m 20 s H = 04 h 21 m 31 s, 46° 20' N, 7° 40' E, mittl. Wallis (Schweiz) (Tafel 4)
223	12.	Ne	—	2	90	—	e 17 h 13 m 06.2 s
224	14.	Ne	128	1	2	—	iP 02 h 42 m 12.4 s iS 02 h 42 m 27.5 s
225	14.	Ba	79	1	1	—	eP 10 h 51 m 00.5 s eS 10 h 51 m 10 s
226	15.	Ba Ne	—	1 <1/2	2 2	—	eP 04 h 43 m 20.8 s e 04 h 43 m 59 s eP 04 h 43 m 24.5 s nach BCIS: H = 04 h 40.0 m, 43° N, 0° 6 W, Basses Pyrénées
227	15.	Ba Ne	—	1 2	30 30	—	eP 05 h 33 m 21.5 s e 05 h 43 m 22 s eP 05 h 33 m 23.0 s e 05 h 36 m 53 s e 05 h 43 m 23 s nach USCGS: H = 05 h 20 m 37 s, h = ca. 300 km, 0°, 101° ½ E, Sumatra, verspürt
228	15.	Zü Ba	— 500	— 1	— 2	—	eP 10 h 17 m 06.2 s eP 10 h 17 m 15.8 s eS 10 h 18 m 06 s nach BCIS: H = 10 h 15 m 49 s, 46° ¼ N, 13° ½ E, Julische Alpen, Region von Udine
229	15.	Ne	—	<1/2	30	—	eP 11 h 09 m 44.6 s nach BCIS: H = 10 h 51 m 16 s, h = ca. 100 km, 0°, 123° E, im Norden von Celebes
230	15.	Zü Ba Ne	— 875 760	— >90 44	19 30 30	—	eP 12 h 04 m 44.8 s e 12 h 08 m 33 s eP 12 h 04 m 45.3 s D e 12 h 05 m 13 s e 12 h 05 m 49 s eS 12 h 06 m 26 s eP 12 h 04 m 46.3 s e 12 h 05 m 02 s e 12 h 05 m 39 s eS 12 h 06 m 05 s nach BCIS: H = 12 h 02 m 54 s, 43° 1 N, 15° 9 E, bei der Küste von Jugoslawien
231	15.	Ba Ne	9200 9100	2 1	90 90	—	eP 13 h 24 m 33.0 s e 13 h 24 m 35 s eS 13 h 34 m 58 s eP 13 h 24 m 37.1 s eS 13 h 34 m 54 s nach USCGS: H = 13 h 12 m 10 s, 46° N, 151° E, Kurilen-Inseln
232	16.	Ne Ba	1600 —	1 3	30 30	—	eP 00 h 42 m 16.5 s eS 00 h 45 m 00 s eP 00 h 42 m 17.0 s e 00 h 45 m 57 s nach BCIS: H = 00 h 38 m 31 s, 36° 0 N, 21° ¼ E, bei der Südküste von Griechenland

Nr.	Datum	Station	Epizentral-entfernung nach S-P	Max. Doppel-Amplit.	Ungef. Dauer der Reg.	Tab. I Nr.	Phasen, Bemerkungen
	1956		km	mm	min		
233	16. Aug.	Ne Ba	1600	2 5	30 30	—	eP 02 h 13 m 15.9 s eS 02 h 15 m 56 s eP 02 h 13 m 30.0 s e 02 h 13 m 42 s e 02 h 17 m 01 s nach BCIS: H = 02 h 09 m 39 s, 36° ¼ N, 8° ¼ W, bei der SW-Küste von Portugal, verspürt V—VI
234	16.	Ba	—	1	1	—	e 08 h 38 m 00.6 s nach BCIS: H = 08 h 34 m 56 s, 42° ½ N, 13° ¼ E, Gran Sasso, Mittel-Italien
235	17.	Ba	—	1	3	—	e 17 h 07 m 16.5 s eS 17 h 09 m 57 s
236	18.	Ba	195	1	2	—	eP 11 h 28 m 42.9 s eS 11 h 29 m 06 s
237	20.	Ne Ba	—	<1/2 1	3 3	—	eP 05 h 46 m 12.7 s eP 05 h 46 m 13.9 s nach USCGS: H = 05 h 33 m 47 s, 7° ½ N, 80° W, bei der Südküste von Panama, verspürt
238	20.	Ba	152	1	1	—	eP 10 h 58 m 28.1 s e 10 h 58 m 30 s eS 10 h 58 m 46 s
239	21.	Ne	—	<1/2	6	—	eP 11 h 38 m 13.4 s nach USCGS: H = 11 h 26 m 01 s, 49° ½ N, 156° E, Kurilen-Inseln
240	22.	Ne Ba	16 147	4 2	1 1	—	eP 08 h 17 m 58.5 s ML iS 08 h 18 m 00.6 s eP 08 h 18 m 07.7 s eS 08 h 18 m 25 s
241	22.	Ba	36	2	1	—	eP 10 h 55 m 13.7 s eS 10 h 55 m 18 s
242	22.	Ba	—	1	1	—	eP 11 h 45 m 43.3 s e 11 h 45 m 47 s
243	24.	Ba Ne	9100 9000	2 1	90 90	—	eP 04 h 39 m 41.0 s eS 04 h 50 m 00 s iP 04 h 39 m 44.3 s eS 04 h 49 m 57 s nach USCGS: H = 04 h 27 m 33 s, 53° N, 172° ½ E, Nahe Inseln, Aleuten
244	25.	Ne	—	1	2	—	iP 11 h 11 m 50.6 s nach BCIS: H = 11 h 07 m 52 s, 36° ¼ N, 23° ¼ E, bei der Südküste von Griechenland, verspürt III—IV
245	28.	Ba	—	1	6	—	eP 01 h 33 m 51.7 s nach USCGS: H = 01 h 29 m 43 s, 41° ½ N, 30° ½ E, bei der NW-Küste der Türkei
246	29.	Ne	—	1	2	—	iP 03 h 16 m 31.8 s nach USCGS: H = 03 h 04 m 32 s, 54° N, 160° E, bei der Ostküste von Kamtschatka
247	30.	Ba Ne	—	1 1	2 90	—	eP 04 h 36 m 30.0 s iP 04 h 36 m 31.0 s e 04 h 45 m 47 s nach USCGS: H = 04 h 24 m 24 s, 54° N, 164° W, Insel Unimak, Aleuten
248	31.	Ba	—	1	1	—	eP 05 h 01 m 02.5 s
249	31.	Ba	50	1	1	—	eP 11 h 02 m 00.0 s eS 11 h 02 m 06 s
	Sept.						
250	2.	Ne Ba	—	1 1	10 2	—	e 01 h 03 m 16.3 s e 01 h 03 m 33.6 s e 01 h 04 m 03 s nach BCIS: H = 00 h 59 m 17 s, 42° 7' N, 1° 4' W, Provinz Navarra, Spanien, verspürt
251	5.	Ba Ne	125	3 <1/2	1 4	—	eP 05 h 50 m 33.3 s eS 05 h 50 m 48 s eP 05 h 50 m 36.3 s
252	5.	Zü	—	1	1	—	e 06 h 02 m 27.4 s
253	5.	Ba	—	2	1	—	e 10 h 49 m 36.0 s eS 10 h 49 m 59 s
254	5.	Ne Ba	1140	1 1	10 1	—	eP 14 h 14 m 31.5 s eS 14 h 16 m 29 s e 14 h 15 m 06.5 s eS 14 h 16 m 22 s nach BCIS: H = 14 h 11.8 m, ca. 200 km im NW von Belgrad
255	6.	Ba Ne	2100 2100	3 2	30 30	—	eP 11 h 50 m 43.9 s eS 11 h 54 m 08 s iP 11 h 50 m 46.6 s eS 11 h 54 m 09 s nach BCIS: H = 11 h 46 m 37 s, 35° ¼ N, 25° ½ E, Region der Dodekanes-Inseln, verspürt V
256	6.	Ne Ba	2000	1 1	30 6	—	eP 13 h 02 m 52.0 s eS 13 h 06 m 10 s eP 13 h 02 m 52.7 s nach BCIS: H = 12 h 58 m 41 s, 35° ¼ N, 25° ¼ E, Dodekanes-Inseln, verspürt IV—V
257	11.	Ba	—	1	6	—	ePKP 02 h 52 m 19.5 s nach USCGS: H = 02 h 32 m 28 s, 16° ½ S, 178° E, Fidji-Inseln

Nr.	Datum	Station	Epizentral-entfernung nach S-P	Max. Doppel-Amplit.	Ungef. Dauer der Reg.	Tab. I Nr.	Phasen, Bemerkungen
	1956		km	mm	min		
258	11. Sept.	Ba Ne	—	1 1	6 30	—	ePKP 16 h 03 m 54.6 s ePKP 16 h 03 m 57.1 s ML nach USCGS: H = 15 h 44 m 04 s, 17° S, 169° E, Neue Hebriden
259	11.	Ba Ne	—	1 2	30 30	—	eP 21 h 16 m 06.8 s K e 21 h 20 m 50 s nach USCGS: H = 21 h 03 m 56 s, 49° ½ N, 155° E, nördl. Kurilen-Inseln
260	12.	Ba	115	1	1	—	eP 10 h 56 m 18.4 s eS 10 h 56 m 32 s
261	13.	Ne Ba	—	1 3	10 6	—	e 14 h 50 m 12.8 s e 14 h 52 m 51 s e 14 h 52 m 00.9 s nach BCIS: um 45° ½ N, 17° ½ E, Jugoslawien
262	16.	Zü Ba Ne	— 5200 5400	3 4 3	21 90 90	—	eP 08 h 45 m 56.0 s eP 08 h 46 m 02.3 s D eS 08 h 52 m 54 s eP 08 h 46 m 04.2 s eS 08 h 53 m 06 s nach USCGS: H = 08 h 37 m 22 s, 34° N, 69° ½ E, Grenze Pakistan-Afghanistan, verspürt
263	16.	Ne Ba	—	<1/2 1	4 3	—	eP 09 h 45 m 10.1 s e 09 h 46 m 30.1 s nach BCIS: H = 09 h 42.6 m, 41° ½ N, 15° ½ E, im SW vom Monte Gargano, Italien, verspürt
264	16.	Ba	—	1	2	—	eP 13 h 46 m 16.1 s nach USCGS: H = 13 h 26 m 30 s, h = ca. 200 km, 19° S, 174° ½ W, Tonga-Inseln
265	16.	Zü Ne Ba	— — 2000	1/2 1 1	4 30 10	—	eP 18 h 11 m 41.1 s eP 18 h 11 m 49.2 s e 18 h 18 m 43 s eP 18 h 11 m 56.1 s eS 18 h 15 m 08 s nach BCIS: H = 18 h 07 m 38 s, 36° ¼ N, 26° ¼ E, Ägäisches Meer, verspürt V
266	16.	Ba Ne Zü	59 118 120	5 3 4	1 3 2	—	iP 21 h 07 m 27.0 s eS 21 h 07 m 34 s iP 21 h 07 m 37.1 s iS 21 h 07 m 51 s Azimut ca. 45° iP 21 h 07 m 38.5 s iS 21 h 07 m 52.6 s nach BCIS: H = 21 h 07 m 17 s, 48° 1' N, 7° 4' E, Dep. Haut-Rhin, Frankreich, verspürt in Colmar
267	18.	Ba	—	5	1	—	e 08 h 55 m 48.8 s eS 08 h 55 m 53 s
268	19.	Ba Ne	—	1 <1/2	6 30	—	eP 23 h 58 m 56.8 s eP 23 h 58 m 59.0 s nach USCGS: H = 23 h 47 m 44 s, h = ca. 150 km, 23° ½ N, 94° ½ E, im W von Burma, verspürt
269	20.	Ba	—	1	1	—	eP 10 h 49 m 22.8 s e 10 h 49 m 35 s
270	20.	Ba	—	2	30	—	eP 22 h 04 m 01.1 s nach USCGS: H = 21 h 52 m 01 s, 51° ½ N, 159° ½ E, bei der Südküste von Kamtschatka
271	20.	Ba	—	1	30	—	eP 23 h 13 m 06.4 s nach BCIS: H = 23 h 03 m 05 s, 1° S, 24° W, Atlantischer Ozean, östlich von St. Paul
272	22.	Ne Ba	880	1 2	10 6	—	eP 03 h 21 m 43.5 s eS 03 h 23 m 14 s eP 03 h 21 m 44.1 s nach BCIS: H = 03 h 19 m 42 s, 42° N, 16° E, Monte Gargano, Italien, verspürt
273	23.	Ne	—	3	<1/2	—	iP 18 h 07 m 17.9 s iS 18 h 07 m 18.5 s
274	25.	Zü Ba Ne	— 780 —	1 2 1	5 4 6	—	eP 20 h 48 m 51.1 s eP 20 h 48 m 55.0 s eS 20 h 50 m 16 s e 20 h 49 m 20.1 s e 20 h 50 m 47 s nach BCIS: H = 20 h 47.1 m, 44° ¼ N, 16° ¼ E, Jugoslawien
275	27.	Ba	—	1	6	—	eP 01 h 02 m 57.3 s nach BCIS: H = 00 h 59.2 m, Jugoslawien, ca. 200 km westlich von Belgrad
276	27.	Ba	—	1	1	—	eP 08 h 02 m 46.3 s e 08 h 02 m 50 s
277	29.	Ba	—	1	3	—	eP 21 h 33 m 27.4 s K nach USCGS: H = 21 h 20 m 52 s, 37° ½ N, 141° E, Hondo, Japan, verspürt
278	29.	Ba Ne	—	2 1	6 6	—	eP 23 h 33 m 33.0 s K iP 23 h 33 m 36.1 s nach USCGS: H = 23 h 20 m 52 s, h = ca. 60 km, 35° ½ N, 140° E, Zentrum von Hondo, Japan

Nr.	Datum	Station	Epizentral-entfernung nach S-P	Max. Doppel-Amplit.	Ungef. Dauer der Reg.	Tab. I Nr.	Phasen, Bemerkungen
	1956		km	mm	min		
	Okt.						
279	1.	Ba	55	1	1	—	eP 10 h 53 m 53.5 s eS 10 h 54 m 00 s
280	2.	Ba	—	2	2	—	e 00 h 43 m 05.6 s eS 00 h 43 m 56 s nach BCIS: H = 00 h 42 m 24 s, 50° 3' N, 7° 3' E, westlich von Koblenz, Rheinland
281	2.	Zü	48	1	1	—	iP 01 h 06 m 01.8 s iS 01 h 06 m 07.4 s
282	2.	Zü Ba Ne	— 8100 —	1 2 4	3 30 4	—	eP 15 h 08 m 16.3 s eP 15 h 08 m 16.6 s D i 15 h 08 m 17 s K eS 15 h 17 m 51 s iP 15 h 08 m 19.7 s nach USCGS: H = 14 h 56 m 26 s, h = ca. 60 km, 53° N, 159° E, bei der SE-Küste von Kamtschatka
283	10.	Ba Ne	— —	1 1	4 4	—	eP 15 h 41 m 23.1 s iP 15 h 41 m 26.8 s nach USCGS: H = 15 h 31 m 34 s, 28° 1/2' N, 78° E, im Norden von Indien
284	11.	Zü Ba Ne	— 8700 8700	— >90 24	60 >120 90	—	eP 02 h 36 m 43.8 s eP 02 h 36 m 43.8 s eS 02 h 46 m 44 s iP 02 h 36 m 46.9 s e 02 h 36 m 58 s e 02 h 40 m 40 s eS 02 h 46 m 49 s nach USCGS: H = 02 h 24 m 33 s, h = ca. 100 km, 46° N, 150° 1/2' E, Kurilen-Inseln, verspürt auf Hokkaido
285	11.	Ne Ba	— —	2 2	90 90	—	eP 17 h 01 m 23.0 s e 17 h 01 m 46.8 s eS 17 h 11 m 26 s nach USCGS: H = 16 h 48 m 46 s, 40° 1/2' N, 126° 1/2' W, auf der Breite des Cap Mendocino, Kalifornien
286	12.	Ba Ne	— —	1 1	4 6	—	eP 12 h 35 m 11.5 s eP 12 h 35 m 15.4 s nach USCGS: H = 12 h 22 m 46 s, 42° 1/2' N, 144° 1/2' E, bei der SE-Küste von Hokkaido, verspürt
287	13.	Ba	—	1	4	—	eP 08 h 29 m 40.2 s nach USCGS: H = 08 h 21 m 17 s, h = ca. 100 km, 36° N, 70° 1/2' E, Afghanistan, verspürt
288	13.	Ba Ne	— —	1 <1/2	1 6	—	eP 15 h 24 m 37.2 s eP 15 h 24 m 37.8 s nach USCGS: H = 15 h 12 m 24 s, 49° 1/2' N, 156° E, im Norden der Kurilen-Inseln
289	14.	Ba	—	1	1	—	e 09 h 56 m 49.0 s
290	14.	Ba	—	1	2	—	eP 21 h 18 m 10.0 s nach USCGS: H = 21 h 05 m 36 s, h = ca. 60 km, 38° N, 141° 1/2' E, bei der Ostküste von Hondo, Japan, verspürt
291	15.	Ne Ba	64 155	1 2	1 1	21 21	iP 13 h 19 m 39.9 s iS 13 h 19 m 47.4 s Azimut 180° eP 13 h 19 m 49.8 s eS 13 h 20 m 08 s erspürt in Vevey und Les Ormonts (Westschweiz) (Tafel 2)
292	16.	Ba	—	1	1	—	eP 07 h 41 m 37.4 s e 07 h 41 m 45 s
293	19.	Ne Ba	— —	1 1	6 10	—	ePKP 12 h 19 m 22.2 s e 12 h 19 m 45 s ePKP 12 h 19 m 27.6 s nach USCGS: H = 12 h 00 m 38 s, h = ca. 650 km, 21° S, 179° W, Fidji-Inseln
294	19.	Ba	—	1	10	—	ePKP 14 h 25 m 06.0 s e 14 h 31 m 56 s nach USCGS: H = 14 h 05 m 34 s, 56° 1/2' S, 122° W, Süd-Pazifik
295	19.	Ba Ne	— 8800	1 1	90 90	—	eP 20 h 59 m 44.0 s e 21 h 10 m 46 s eP 20 h 59 m 48.1 s eS 21 h 09 m 54 s nach USCGS: H = 20 h 47 m 33 s, 52° N, 177° E, Ratten-Inseln, Aleuten
296	20.	Ba	—	1	6	—	e 03 h 44 m 22.8 s nach USCGS: H = 03 h 31 m 24 s, 51° 1/2' N, 170° W, Fuchs-Inseln, Aleuten
297	23.	Ba	—	1	6	—	eP 08 h 54 m 58.7 s nach USCGS: H = 08 h 41 m 22 s, h = ca. 100 km, 13° 1/2' N, 120° 1/2' E, Insel Mindoro, Philippinen, verspürt V
298	24.	Ba	—	1	6	—	e 11 h 04 m 12.0 s nach USCGS: H = 10 h 59 m 26 s, 47° 1/2' N, 27° 1/2' W, Nord-Atlantik
299	24.	Ne Ba	— —	9 3	90 90	—	iP 14 h 54 m 52.1 s ePP 14 h 58 m 14 s eP 14 h 54 m 58.0 s e 14 h 59 m 55 s nach USCGS: H = 14 h 42 m 10 s, 12° N, 87° W, bei der Küste von Nicaragua, verspürt
300	25.	Ba	43	2	1	—	eP 10 h 48 m 25.8 s eS 10 h 48 m 31 s

Nr.	Datum	Station	Epizentral-entfernung nach S-P	Max. Doppel-Amplit.	Ungef. Dauer der Reg.	Tab. I Nr.	Phasen, Bemerkungen
	1956		km	mm	min		
	Okt.						
301	26.	Ne Ba	— —	1 1	10 10	—	ePKP 23 h 10 m 00.3 s ePP 23 h 13 m 10 s ePKP 23 h 10 m 01.0 s e 23 h 18 m 27 s nach USCGS: H = 22 h 50 m 24 s, 14° S, 167° E, Neue Hebriden
302	28.	Ne Ba	— —	4 2	90 30	—	e 03 h 46 m 43.0 s e 03 h 56 m 10 s Maximum 05 h 00 m 15 s e 03 h 47 m 59.3 s e 04 h 00 m 08 s nach USCGS: H = 03 h 28 m 41 s, 32° S, 179° W, Kermadec-Inseln
303	29.	Ba	—	1	6	—	eP 03 h 44 m 23.5 s
304	29.	Ne Ba	— 2000	1 1	30 6	—	eP 07 h 39 m 10.7 s eP 07 h 39 m 19.2 s eS 07 h 42 m 36 s nach BCIS: H = 07 h 34 m 56 s, 35° 1/2' N, 26° E, Dodekanes-Inseln, verspürt IV
305	30.	Ba	—	1	1	—	e 15 h 59 m 09.0 s e 15 h 59 m 24 s
306	31.	Ba Ne	4600 4600	17 5	30 30	—	eP 14 h 11 m 34.9 s K eS 14 h 17 m 46 s eP 14 h 11 m 37.6 s eS 14 h 17 m 49 s nach BCIS: H = 14 h 03 m 44 s, 27° 1/4' N, 54° 1/2' E, Süd-Persien, Schadenbeben
307	31.	Ba Ne	4500 4600	3 2	30 30	—	eP 14 h 30 m 13.1 s eS 14 h 36 m 22 s eP 14 h 30 m 16.1 s eS 14 h 36 m 31 s nach USCGS: H = 14 h 22 m 19 s, Nachstoß von Nr. 306
	Nov.						
308	2.	Ba Ne	— 1580	5 2	30 30	—	eP 16 h 07 m 59.6 s e 16 h 10 m 55 s iP 16 h 08 m 01.7 s eS 16 h 10 m 40 s e 16 h 12 m 15 s nach BCIS: H = 16 h 04 m 33 s, 39° 5' N, 23° 0' E, im Norden des Golfes von Volos, Griechenland, verheerendes Beben, vor allem in der Region von Pelion (VII—VIII), erschüttertes Gebiet 80 000 km ²
309	3.	Ne Ba	83 —	1 1	1 1	23 23	iP 13 h 59 m 55.7 s i 13 h 59 m 58.4 s iS 14 h 00 m 05.6 s i 14 h 00 m 09.3 s erspürt in Sion (Wallis), (Tafel 2)
310	4.	Ba Ne	— —	1 1	30 10	—	e 07 h 24 m 58.6 s i 07 h 25 m 00 s e 07 h 25 m 36.9 s nach USCGS: H = 07 h 05 m 43 s, h = ca. 60 km, 22° S, 175° W, Tonga-Inseln
311	5.	Ba Ne	620 660	23 12	10 10	—	iP 19 h 46 m 27.7 s D eS 19 h 47 m 31 s iP 19 h 46 m 32.7 s e 19 h 46 m 45 s e 19 h 47 m 21 s eS 19 h 47 m 41 s nach BCIS: H = 19 h 45 m 25 s, 46° 5' N, 13° 0' E, Karnische Alpen, verspürt VI
312	6.	Ba	—	1	2	—	eP 15 h 30 m 01.2 s
313	9.	Ba	—	1	—	—	eP 06 h 08 m 22.5 s K nach USCGS: H = 06 h 01 m 51 s, 36° N, 34° 1/2' W, Atlantischer Ozean
314	9.	Ne Ba	— —	1 5	1 1	—	e 08 h 02 m 59 s ML eS 08 h 03 m 11 s e 08 h 03 m 09.1 s i 08 h 03 m 11 s eS 08 h 03 m 30 s
315	9.	Ne Ba	9000 9000	4 6	90 30	—	eP 13 h 18 m 34.5 s eS 13 h 28 m 49 s eP 13 h 18 m 35.3 s eS 13 h 28 m 52 s nach USCGS: H = 13 h 06 m 10 s, h = ca. 150 km, 17° N, 94° W, Süd-Mexico, verspürt
316	10.	Ba	—	2	10	—	eP 14 h 53 m 14.1 s nach USCGS: H = 14 h 39 m 56 s, 16° N, 121° E, Luzon, Philippinen, verspürt VI
317	11.	Ba Ne	8700 —	2 1	30 30	—	eP 19 h 27 m 45.4 s K eS 19 h 37 m 46 s eP 19 h 27 m 48.2 s nach USCGS: H = 19 h 15 m 20 s, 44° N, 149° E, Kurilen-Inseln
318	12.	Ne Ba	— —	1 1	2 2	—	e 10 h 44 m 58.5 s ML eP 10 h 45 m 27.1 s nach BCIS: H = 10 h 40 m 09 s, Mittelmeer
319	14.	Ba Ne	5100 5100	2 1	30 30	—	eP 00 h 59 m 52.8 s eS 01 h 06 m 39 s eP 00 h 59 m 57.5 s eS 01 h 06 m 45 s nach USCGS: H = 00 h 51 m 27 s, h = ca. 150 km, 36° 1/2' N, 71° E, Hindukusch, verspürt
320	14.	Ne Ba	590 —	1 3	6 3	—	iP 13 h 48 m 38.3 s e 13 h 49 m 20 s eS 13 h 49 m 37 s e 13 h 48 m 58.1 s eS 13 h 49 m 44 s nach BCIS: H = 13 h 47.6 m, 44° 1/4' N, 11° E, Etruskischer Apennin

Nr.	Datum	Station	Epizentral-entfernung nach S-P	Max. Doppel-Amplit.	Ungef. Dauer der Reg.	Tab. I Nr.	Phasen, Bemerkungen
	1956		km	mm	min		
321	Nov. 16.	Ba Ne	— 180	2 2	1 3	—	e 05 h 57 m 40.1 s eP 05 h 57 m 56 s ML iS 05 h 58 m 17.2 s nach BCIS: H = 05 h 57 m 28 s, 45° 7' N, 5° 8' E, Savoyen, Frankreich, verspürt IV—V
322	16.	Ne	187	<1/2	1	—	eP 05 h 59 m 06.0 s iS 05 h 59 m 28 s Nachstoß von Nr. 321?
323	16.	Ne	—	1	6	—	eP 12 h 05 m 46.7 s nach USCGS: H = 11 h 53 m 54 s, 8° 1/2' N, 71° W, im NW von Venezuela
324	17.	Ne Ba	174 —	1 1	2 1	—	iP 04 h 38 m 14.4 s iS 04 h 38 m 34.9 s e 04 h 38 m 55.9 s e 04 h 39 m 07 s nach BCIS: H = 04 h 37 m 46 s, Nachstoß von Nr. 321, verspürt in der Region von Chambéry
325	17.	Ba Ne	— —	1 1	30 90	—	eP 20 h 38 m 56.1 s e 20 h 44 m 11 s eP 20 h 38 m 57.9 s ML nach USCGS: H = 20 h 27 m 15 s, 54° 1/2' N, 134° W, Region der Königin-Charlotte-Inseln, verspürt
326	20.	Ne Ba	— —	1 3	10 6	—	eP 23 h 24 m 40.0 s e 23 h 29 m 36 s eP 23 h 24 m 43.7 s e 23 h 30 m 47 s nach BCIS: H = 23 h 20 m 52 s, 39° 3/4' N, 26° 0' E, Ägäisches Meer, verspürt VI
327	21.	Ba Ne	— —	1 <1/2	10 6	—	eP 07 h 46 m 04.4 s K e 07 h 54 m 49 s eP 07 h 46 m 07.1 s nach USCGS: H = 07 h 33 m 28 s, h = 60 km, 38° N, 142° E, bei der Ostküste von Hondo, Japan
328	23.	Ba	49	1	1	—	eP 13 h 09 m 38.2 s e 13 h 09 m 40 s eS 13 h 09 m 44 s
329	25.	Ba Ne	— —	1 <1/2	10 6	—	e 18 h 26 m 01.0 s e 18 h 35 m 19 s ePKP 18 h 27 m 03.8 s nach USCGS: H = 18 h 07 m 40 s, h = ca. 100 km, 15° S, 168° E, Neue Hebriden
330	26.	Ba	—	2	6	—	eP 03 h 54 m 28.7 s nach BCIS: H = 03 h 53 m 00 s, 42° 3/4' N, 13° 1/2' E, Region der Monti Sibillini, Mittel-Italien, verspürt V
331	26.	Ba Ne	— —	3 3	30 10	—	ePKP 23 h 49 m 35.6 s ePKP 23 h 49 m 35.6 s nach USCGS: H = 23 h 29 m 41 s, 22° S, 169° E, Loyalty-Inseln
332	27.	Ba	—	3	30	—	ePKP 01 h 11 m 39.6 s nach USCGS: H = 00 h 51 m 46 s, Nachstoß von Nr. 331
333	27.	Ba	—	2	30	—	e 02 h 38 m 43.4 s nach USCGS: H = 02 h 19 m 34 s, Nachstoß von Nr. 331
334	27.	Ba Ne	— —	2 1	30 6	—	e 13 h 38 m 26.0 s ePKP 13 h 39 m 02.1 s nach USCGS: H = 13 h 19 m 05 s, Nachstoß von Nr. 331
335	28.	Ba Ne	8200 —	3 3	30 30	—	eP 19 h 39 m 21.4 s K eS 19 h 48 m 56 s iP 19 h 39 m 25.1 s nach USCGS: H = 19 h 27 m 11 s, 49° 1/2' N, 155° E, im Norden der Kurilen-Inseln
336	29.	Ne	—	1	30	—	e 10 h 09 m 33.6 s
	Dez.						
337	1.	Ba	—	2	30	—	ePKP 08 h 03 m 43.5 s nach USCGS: H = 07 h 43 m 51 s, Nachstoß von Nr. 331
338	1.	Ba	—	1	10	—	e 18 h 50 m 36.7 s
339	2.	Ne	—	1	4	—	eP 03 h 12 m 13.3 s nach USCGS: H = 02 h 59 m 56 s, 52° 1/2' N, 169° W, Fuchs-Inseln, Aleuten
340	3.	Ba Ne	8400 —	2 1	30 6	—	eP 07 h 32 m 21.6 s eS 07 h 42 m 09 s eP 07 h 32 m 23.9 s nach USCGS: H = 07 h 20 m 08 s, 53° N, 169° W, Fuchs-Inseln, Aleuten
341	3.	Ba Ne	— —	2 1	10 3	—	eP 07 h 57 m 09.6 s iP 07 h 57 m 12.3 s e 07 h 59 m 26 s nach USCGS: H = 07 h 44 m 55 s, 52° 1/2' N, 169° W, Fuchs-Inseln, Aleuten
342	4.	Ne	—	1	3	—	iP 08 h 56 m 39.0 s nach USCGS: H = 08 h 44 m 28 s, 50° N, 156° E, Kurilen-Inseln

Nr.	Datum	Station	Epizentral-entfernung nach S-P	Max. Doppel-Amplit.	Ungef. Dauer der Reg.	Tab. I Nr.	Phasen, Bemerkungen
	1956		km	mm	min		
	Dez.						
343	4.	Ba Ne	— —	1 1	10 3	—	eP 10 h 54 m 21.4 s K iP 10 h 54 m 24.9 s nach USCGS: H = 10 h 42 m 10 s, 53° N, 169° W, Fuchs-Inseln, Aleuten
344	4.	Ne Ba	— —	<1/2 1	6 10	—	eP 23 h 14 m 00.1 s e 23 h 19 m 18 s nach USCGS: H = 23 h 01 m 35 s, h = ca. 150 km, 15° N, 52° W, Guatemala, verspürt
345	8.	Ba Ne	— —	2 1	6 90	—	eP 16 h 22 m 44.7 s iP 16 h 22 m 48.1 s nach USCGS: H = 16 h 10 m 27 s, 51° N, 179° 1/2' W, Andeanow-Inseln, Aleuten
346	9.	Ne Ba	— —	<1/2 2	3 30	—	iP 01 h 14 m 13.0 s e 01 h 14 m 45 s e 01 h 14 m 23.3 s e 01 h 20 m 18 s
347	11.	Ne Zü Ba	97 159 153	8 2 4	2 2 2	24 24 24	iP 22 h 25 m 27.5 s iS 22 h 25 m 39 s i 22 h 25 m 41 s eP 22 h 25 m 32.5 s eS 22 h 25 m 51.3 s eP 22 h 25 m 34.0 s eS 22 h 25 m 52 s H = 22 h 25 m 07 s, 46° 11' N, 7° 25' E, Hérémence (Wallis), verspürt in Visp, Zermatt und Chippis (III—IV) (Tafel 1)
348	13.	Ba Zü	— —	1 1	6 1/4	—	eP 23 h 51 m 14.5 s K iP 23 h 51 m 33.1 s
349	15.	Ne	—	<1/2	6	—	ePKP 17 h 43 m 43.5 s nach USCGS: H = 17 h, 24 m 24 s, h = ca. 150 km, 13° S, 167° 1/2' E, Neue Hebriden
350	16.	Ne	—	1	6	—	eP 01 h 54 m 14.0 s nach USCGS: H = 01 h 41 m 52 s, 6° 1/2' N, 78° W, bei der Westküste von Kolumbien, verspürt III
351	17.	Zü	—	—	—	—	iP 16 h 37 m 01.9 s Lokalstoß
352	18.	Ne Ba Zü	— — —	2 2 2	90 30 60	—	eP 02 h 44 m 55.8 s ePP 02 h 48 m 57 s e 02 h 53 m 46 s eP 02 h 45 m 10.6 s ePP 02 h 49 m 00 s e 02 h 45 m 35.1 s nach USCGS: H = 02 h 31 m 00 s, 25° 1/2' S, 68° 1/2' W, Grenze Chile-Argentinien, verspürt
353	18.	Zü	—	1	1	—	eP 12 h 07 m 53.3 s
354	18.	Zü Ba Ne	— 2500 —	1 1 1	4 6 6	—	eP 17 h 58 m 38.6 s eP 17 h 58 m 45.0 s eS 18 h 02 m 42 s eP 17 h 58 m 45.0 s nach BCIS: H = 17 h 53 m 02 s, 31° 1/2' N, 35° 1/2' E, Region Totes Meer, verspürt, einige Schäden
355	19.	Ba	—	2	10	—	eP 01 h 30 m 14.0 s e 01 h 38 m 07 s nach USCGS: H = 01 h 18 m 10 s, 51° 1/2' N, 157° E, im Süden von Kamtschatka
356	21.	Ne	—	<1/2	4	—	iP 00 h 09 m 32.4 s
357	21.	Ba	—	2	30	—	e 03 h 38 m 59.8 s e 03 h 47 m 24 s nach USCGS: H = 03 h 27 m 41 s, 27° N, 96° 1/2' E, Grenze Burma-Indien
358	21.	Zü Ba Ne	— — —	1 5 3	45 90 30	—	e 09 h 10 m 34.2 s eP 09 h 10 m 41.5 s e 09 h 21 m 01 s eP 09 h 10 m 42.5 s nach USCGS: H = 08 h 58 m 53 s, 51° N, 131° W, Königin-Charlotte-Inseln
359	23.	Ne	—	1	30	—	e 00 h 03 m 05.2 s
360	25.	Zü Ne	— —	1/2 <1/2	1 1	—	eP 04 h 07 m 07.3 s eP 01 h 07 m 09.0 s nach BCIS: H = 01 h 01.6 m, 38° 1/2' N, 21° E, Ionische Inseln, verspürt IV
361	25.	Ne	—	1	1	—	e 04 h 35 m 00.6 s iS 04 h 35 m 04 s
362	25.	Ne Ba	2750 2800	9 25	30 30	—	iP 09 h 38 m 48.1 s eS 09 h 43 m 03 s Azimut ca. 300° iP 09 h 38 m 50.9 s eS 09 h 43 m 14 s nach USCGS: H = 09 h 33 m 37 s, 48° 1/2' N, 28° W, Nord-Atlantik
363	27.	Zü Ne Ba	— — —	4 4 10	15 30 30	—	ePKP 00 h 33 m 43.3 s e 00 h 34 m 13 s ePKP 00 h 33 m 43.6 s e 00 h 34 m 12 s ePP 00 h 37 m 58 s e 00 h 44 m 27 s ePKP 00 h 33 m 44.2 s K nach USCGS: H = 00 h 14 m 15 s, h = ca. 300 km, 24° S, 177° W, Region der Tonga-Inseln

Nr.	Datum	Station	Epizentral- entfernung nach S-P	Max. Doppel- Amplit.	Ungef. Dauer der Reg.	Tab. I Nr.	Phasen, Bemerkungen
	1956		km	mm	min		
364	Dez. 27.	✓ Zü	—	1	2	—	eP 10 h 12 m 28.4 s
		✓ Ne	—	1	6	—	iP 10 h 12 m 36.7 s
		✓ Ba	—	1	3	—	eP 10 h 12 m 37.3 s
							nach BCIS: H = 10 h 08 m 10 s, 35° ¼ N, 27° ¼ E, bei der Südküste von Rhodos
365	30.	✓ Ne	—	1	6	—	eP 18 h 27 m 44.1 s
		✓ Zü	—	1	2	—	eP 18 h 27 m 46.6 s
		✓ Ba	—	1	10	—	eP 18 h 27 m 50.2 s e 18 h 30 m 46 s
							nach BCIS: H = 18 h 24 m 23 s, 38° 3 N, 21° 1 E, Ionische Inseln, verspürt IV—V
366	30.	✓ Ba	—	1	6	—	eP 22 h 10 m 26.0 s
							nach USCGS: H = 21 h 59 m 06 s, 24° N, 94° ½ E, Grenze Burma-Indien

zusammengestellt von W. Schneibel

In der Schweiz im Jahre 1956 verspürte Erdbeben.

GMT

